

Data Structure for Disjoint Sets

情報知識ネットワーク研究室 B4
大泉翼

21.1 Disjoint-set operations

21.2 Linked-list representation of disjoint sets

21.3 Disjoint-set forests

21.4 Analysis of union by rank with path compression

21.1 Disjoint-set operations

21.2 Linked-list representation of disjoint sets

21.3 Disjoint-set forests

21.4 Analysis of union by rank with path compression

内容

- **素集合データ構造**は, グループ分けを管理するデータ構造の総称.
 - 無向グラフにおける連結成分を求めるアルゴリズムや, 根付き木における最近共通祖先を求めるアルゴリズム, 最小全域木を求めるアルゴリズムなどに応用.
- 本スライドでは以下の二つの表現を紹介.
 - **素集合連結リスト**
 - **素集合森**
- さらに素集合森の 1 操作あたりのならし時間計算量を解析して, $O(\alpha(n))$ となる事実を示す.

素集合データ構造とは

- 素集合データ構造とは, 動的で互いに素な集合族 $\mathcal{S} = \{S_1, S_2, \dots\}$ を管理するデータ構造.
 - 各集合には代表元を定める.
- x, y を集合の要素として, 以下の三つの操作をサポート.

- $MAKE-SET(x)$
- $UNION(x, y)$
- $FIND-SET(x)$

a c e g h

d f i j

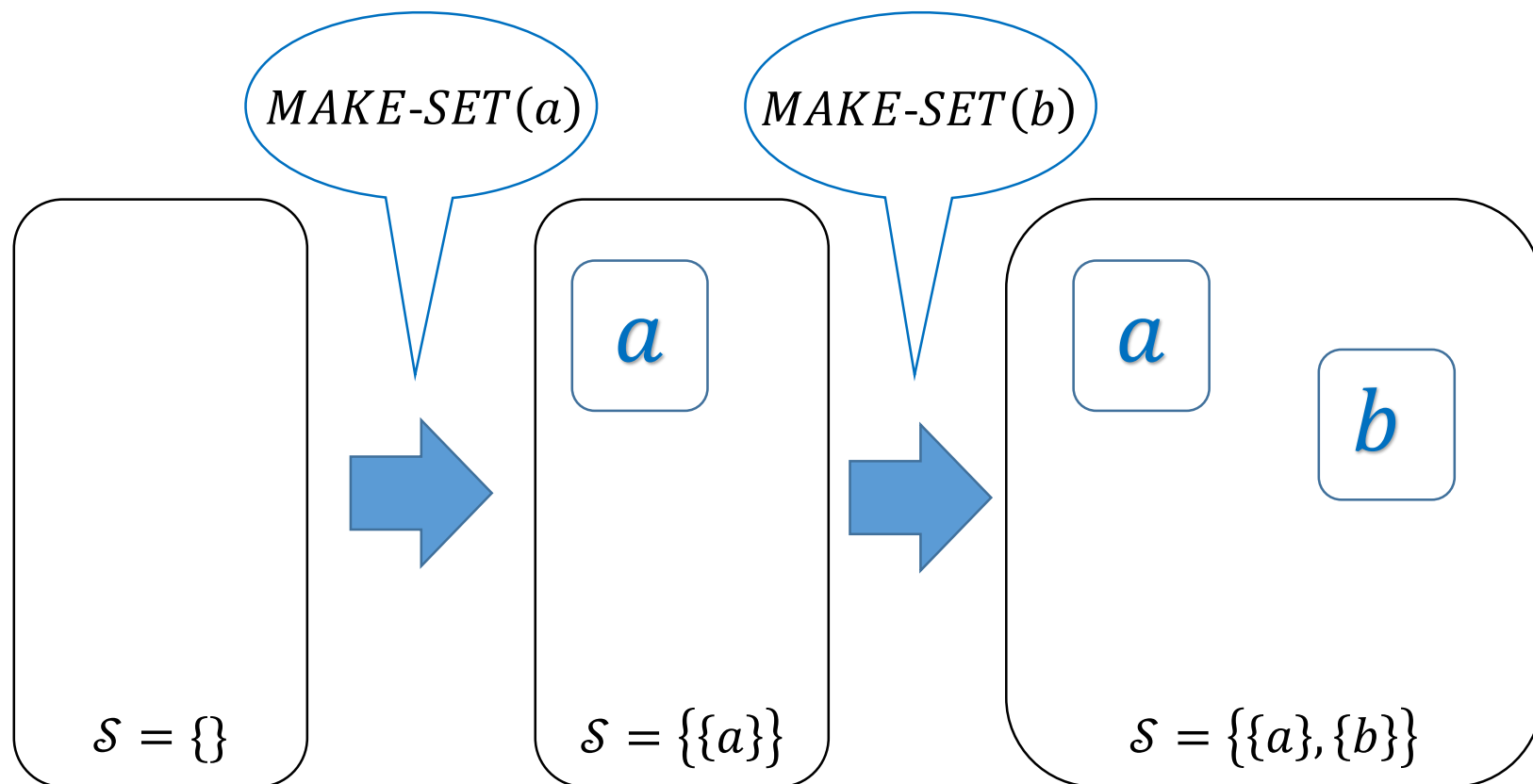
b

青色は, 各集合の
代表元を表す.

$$\begin{aligned}\mathcal{S} &= \{S_a, S_d, S_b\} \\ S_a &= \{a, c, e, g, h\} \\ S_d &= \{d, f, i, j\} \\ S_b &= \{b\}\end{aligned}$$

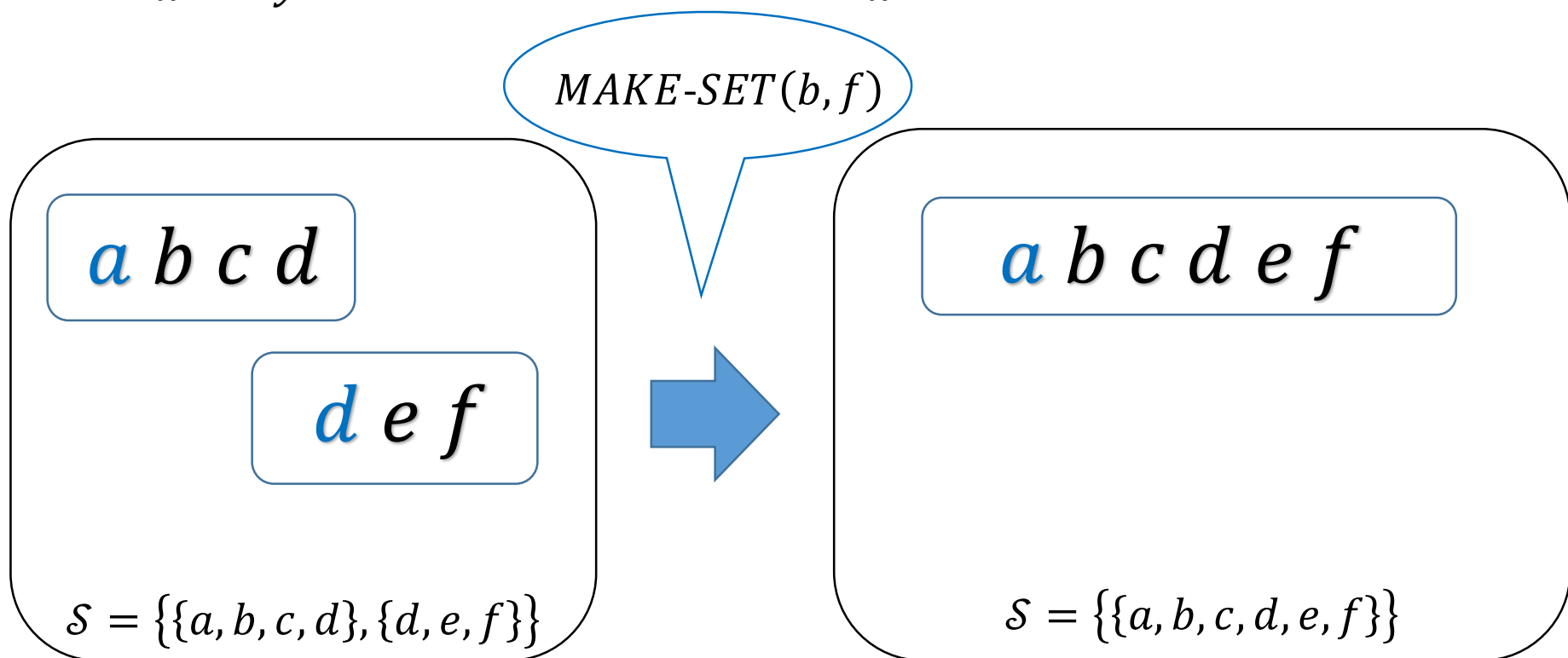
操作 $MAKE-SET(x)$

- $\mathcal{S}' \leftarrow \mathcal{S} \cup \{\{x\}\}$ とする操作.
 - x のみを要素とする新たな集合を \mathcal{S} に加える操作.
 - 集合 $\{x\}$ の代表元は x と定める.



操作 $UNION(x, y)$

- $\mathcal{S}' \leftarrow (\mathcal{S} \setminus \{S_x, S_y\}) \cup (\{S_x \cup S_y\})$ とする操作.
 - x, y を含む集合をそれぞれ S_x, S_y とする.
 - S_x, S_y を \mathcal{S} から取り除き, $S_x \cup S_y$ を \mathcal{S} に加える操作.
 - $S_x \cup S_y$ の代表元は, 操作前の S_x における代表元とする.



操作 $FIND-SET(x)$

- S_x の代表元を取得する操作.
 - x を含む集合を S_x とする.

$FIND-SET(x)$ と $FIND-SET(y)$ を比較することで、 x と y が同じ集合に属するかどうかを判定できる.

$a c e g h$

$d f i j$

b

$FIND-SET(c), FIND-SET(h)$ から、
同じ代表元 a を得るので、
 c と h は同じ集合に属することがわかる

$$\begin{aligned}\mathcal{S} &= \{S_a, S_d, S_b\} \\ S_a &= \{a, c, e, g, h\} \\ S_d &= \{d, f, i, j\} \\ S_b &= \{b\}\end{aligned}$$

21.1 Disjoint-set operations

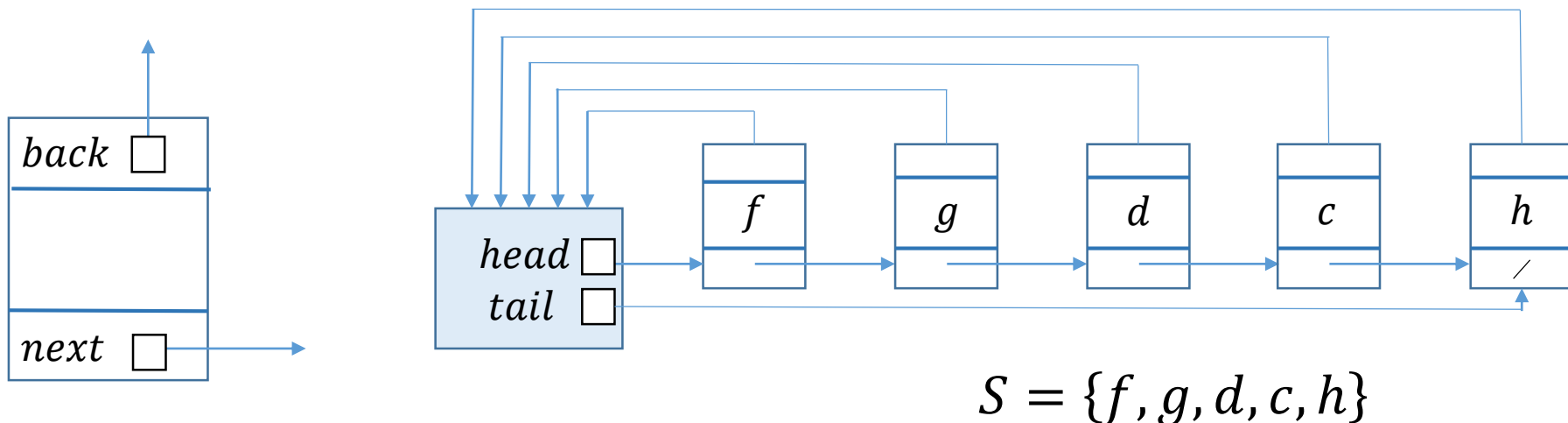
21.2 Linked-list representation of disjoint sets

21.3 Disjoint-set forests

21.4 Analysis of union by rank with path compression

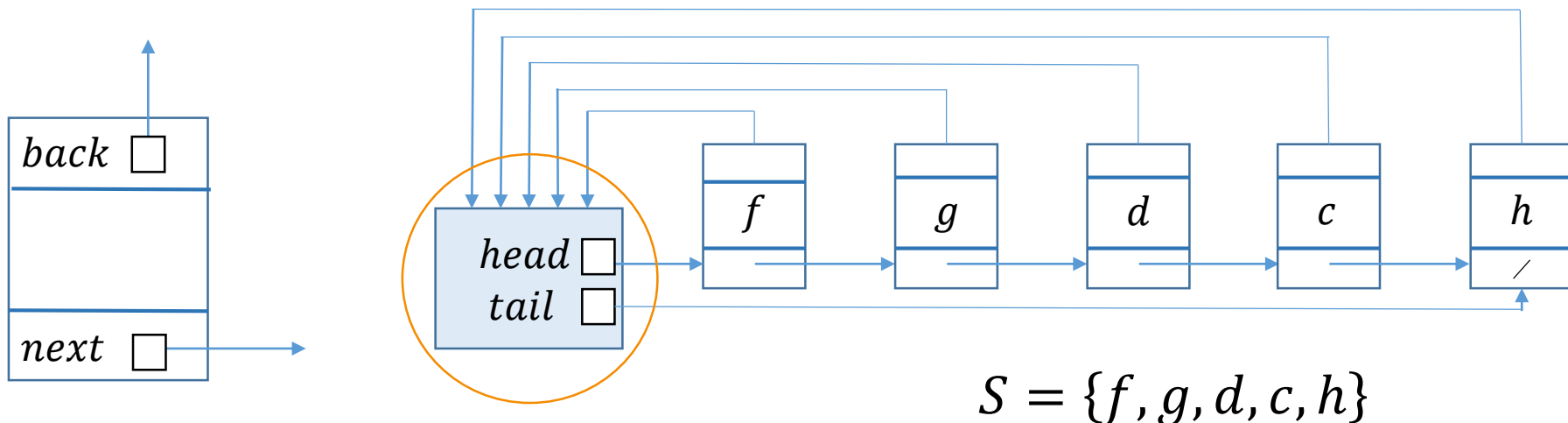
素集合連結リスト

- 素集合連結リスト $\mathcal{L} = \{L_1, L_2, \dots\}$ では, 各集合を連結リストで表現.
 - 各連結リストは一つのダミーと複数のノードを持つ.
 - ダミーは先頭ノードへのポインタ(*head*)と, 末尾ノードへのポインタ(*tail*)を持つ.
 - ノードは次のノードへのポインタ(*next*)と, ダミーへのポインタ(*back*)と, 要素を持つ.
 - 各集合の代表元は先頭ノードの要素とする.

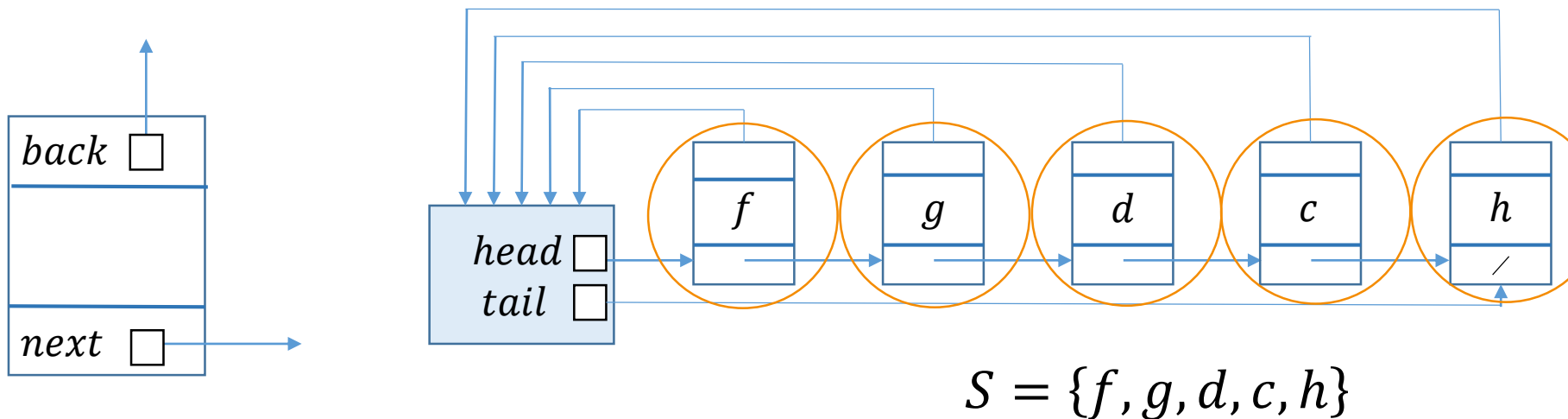


素集合連結リスト

- 素集合連結リスト $\mathcal{L} = \{L_1, L_2, \dots\}$ では, 各集合を 連結リスト で表現.
 - 各連結リストは一つの **ダミー** と複数のノードを持つ.
 - ダミーは先頭ノードへのポインタ(*head*)と, 末尾ノードへのポインタ(*tail*)を持つ.
 - ノードは次のノードへのポインタ(*next*)と, ダミーへのポインタ(*back*)と, 要素を持つ.
 - 各集合の代表元は先頭ノードの要素とする.

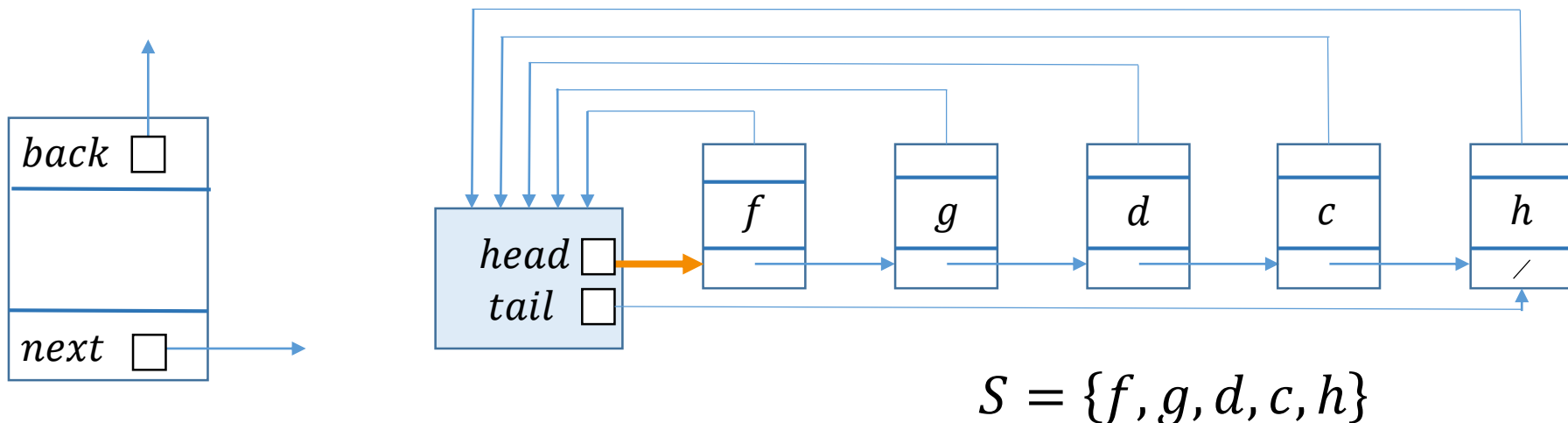


- 素集合連結リスト $\mathcal{L} = \{L_1, L_2, \dots\}$ では, 各集合を 連結リスト で表現.
 - 各連結リストは一つのダミーと複数の ノード を持つ.
 - ダミーは先頭ノードへのポインタ(*head*)と, 末尾ノードへのポインタ(*tail*)を持つ.
 - ノードは次のノードへのポインタ(*next*)と, ダミーへのポインタ(*back*)と, 要素を持つ.
 - 各集合の代表元は先頭ノードの要素とする.



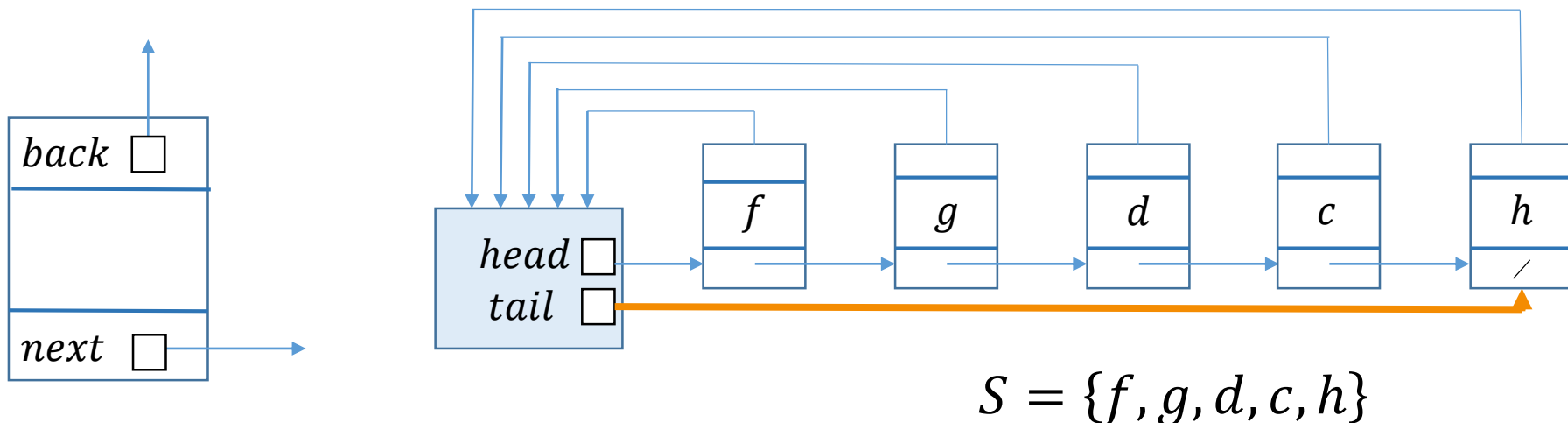
素集合連結リスト

- 素集合連結リスト $\mathcal{L} = \{L_1, L_2, \dots\}$ では, 各集合を 連結リスト で表現.
 - 各連結リストは一つのダミーと複数のノードを持つ.
 - ダミーは先頭ノードへのポインタ(head)と, 末尾ノードへのポインタ(*tail*)を持つ.
 - ノードは次のノードへのポインタ(*next*)と, ダミーへのポインタ(*back*)と, 要素を持つ.
 - 各集合の代表元は先頭ノードの要素とする.



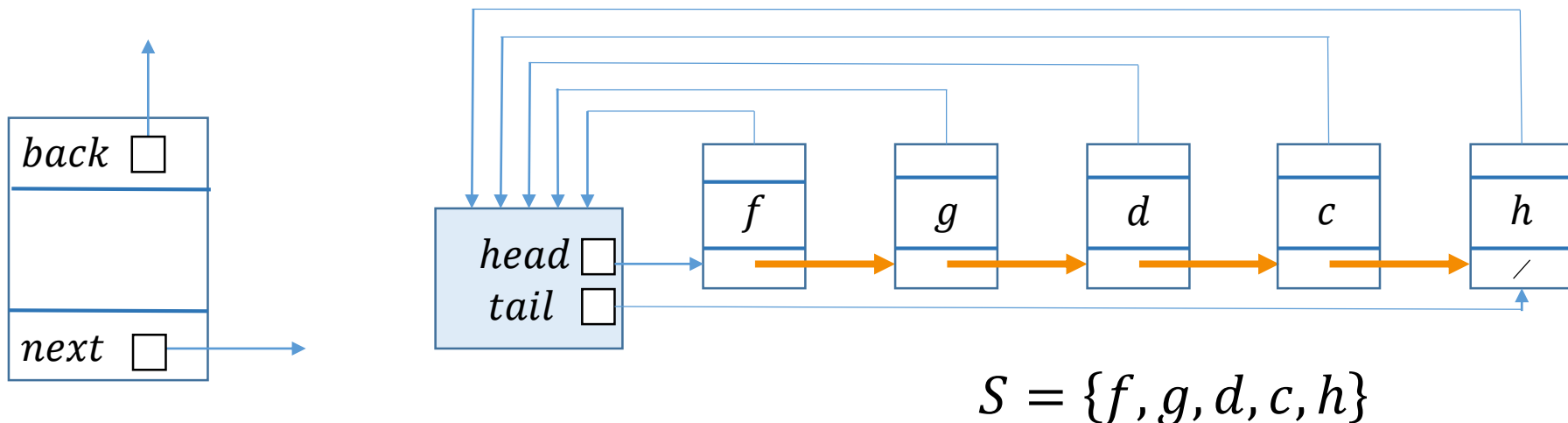
素集合連結リスト

- 素集合連結リスト $\mathcal{L} = \{L_1, L_2, \dots\}$ では, 各集合を 連結リスト で表現.
 - 各連結リストは一つのダミーと複数のノードを持つ.
 - ダミーは先頭ノードへのポインタ(*head*)と, 末尾ノードへのポインタ(*tail*)を持つ.
 - ノードは次のノードへのポインタ(*next*)と, ダミーへのポインタ(*back*)と, 要素を持つ.
 - 各集合の代表元は先頭ノードの要素とする.



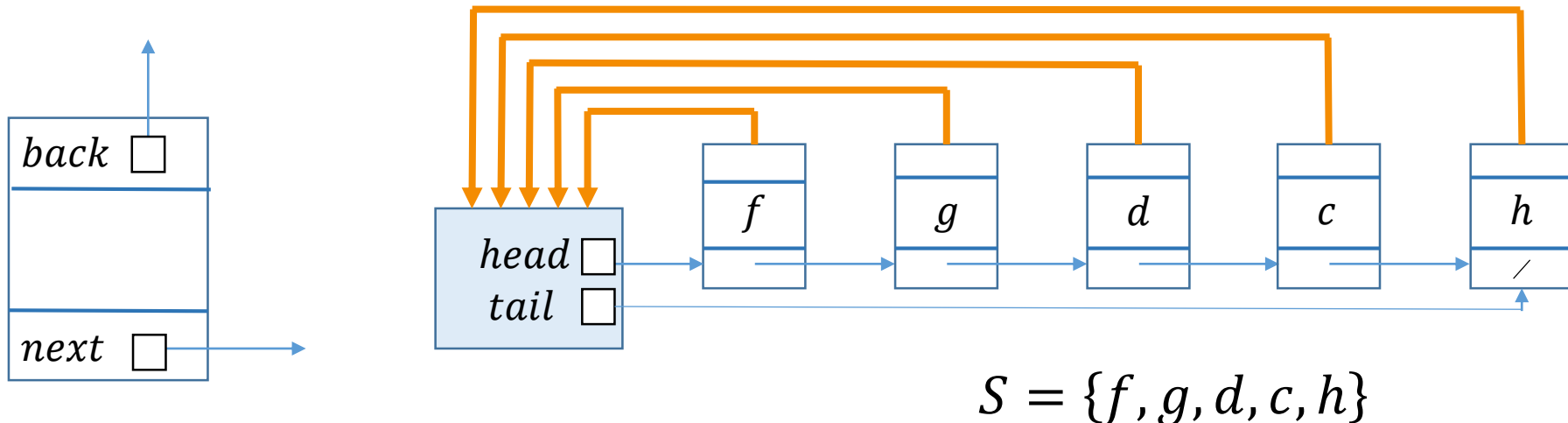
素集合連結リスト

- 素集合連結リスト $\mathcal{L} = \{L_1, L_2, \dots\}$ では, 各集合を 連結リスト で表現.
 - 各連結リストは一つのダミーと複数のノードを持つ.
 - ダミーは先頭ノードへのポインタ(*head*)と, 末尾ノードへのポインタ(*tail*)を持つ.
 - ノードは次のノードへのポインタ(*next*)と, ダミーへのポインタ(*back*)と, 要素を持つ.
 - 各集合の代表元は先頭ノードの要素とする.



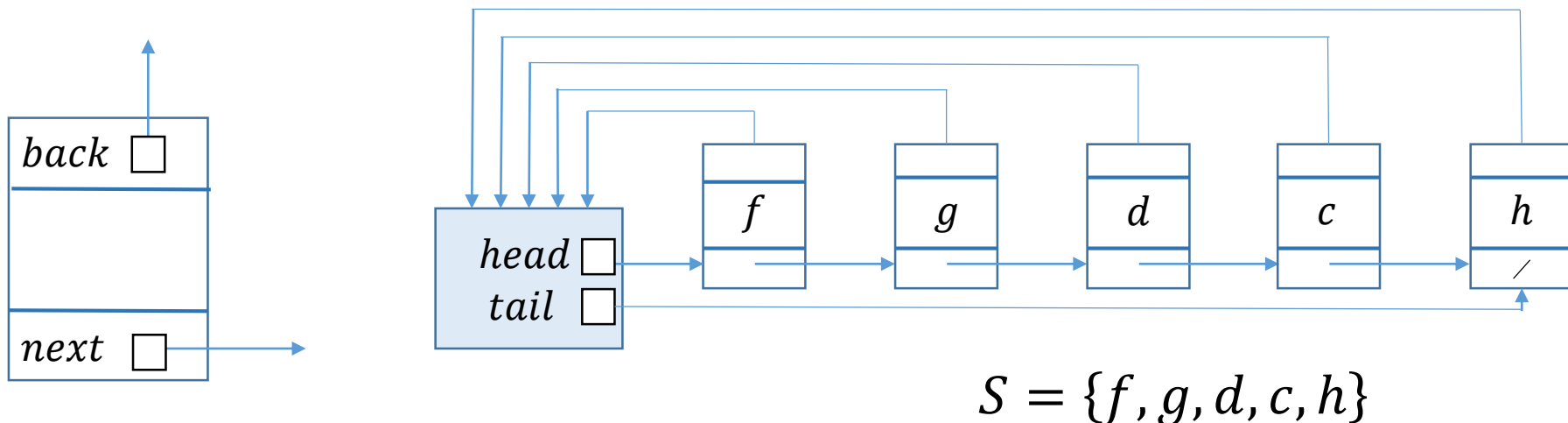
素集合連結リスト

- 素集合連結リスト $\mathcal{L} = \{L_1, L_2, \dots\}$ では, 各集合を 連結リスト で表現.
 - 各連結リストは一つのダミーと複数のノードを持つ.
 - ダミーは先頭ノードへのポインタ(*head*)と, 末尾ノードへのポインタ(*tail*)を持つ.
 - ノードは次のノードへのポインタ(*next*)と, ダミーへのポインタ(***back***)と, 要素を持つ.
 - 各集合の代表元は先頭ノードの要素とする.



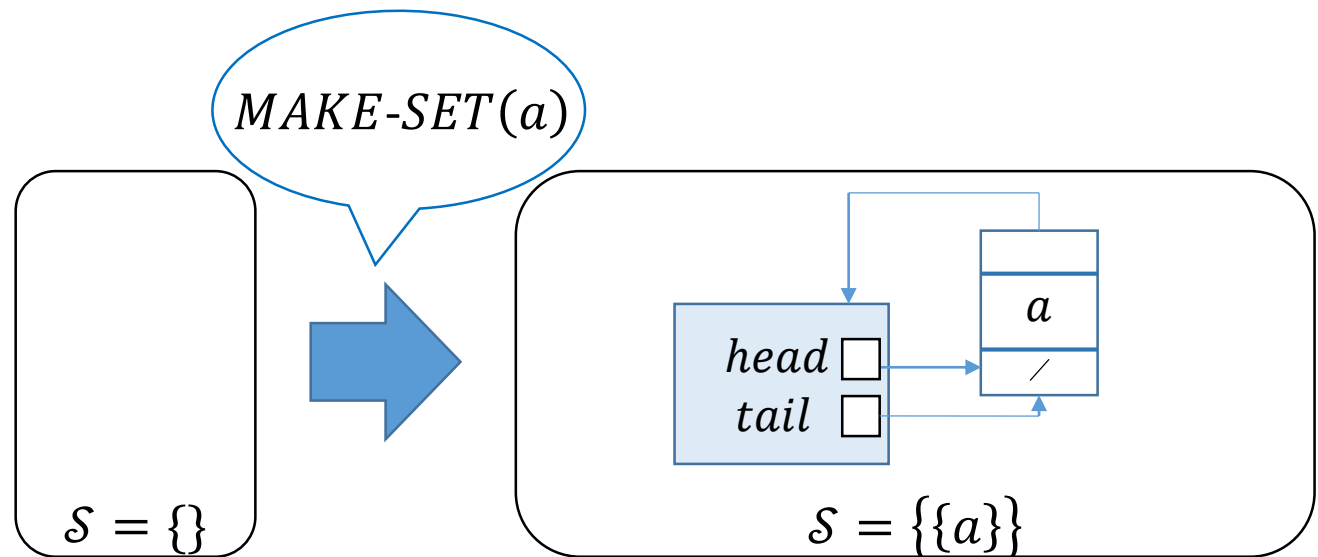
素集合連結リスト

- 素集合連結リスト $\mathcal{L} = \{L_1, L_2, \dots\}$ では, 各集合を連結リストで表現.
 - 各連結リストは一つのダミーと複数のノードを持つ.
 - ダミーは先頭ノードへのポインタ(*head*)と, 末尾ノードへのポインタ(*tail*)を持つ.
 - ノードは次のノードへのポインタ(*next*)と, ダミーへのポインタ(*back*)と, 要素を持つ.
 - 各集合の代表元は先頭ノードの要素とする.



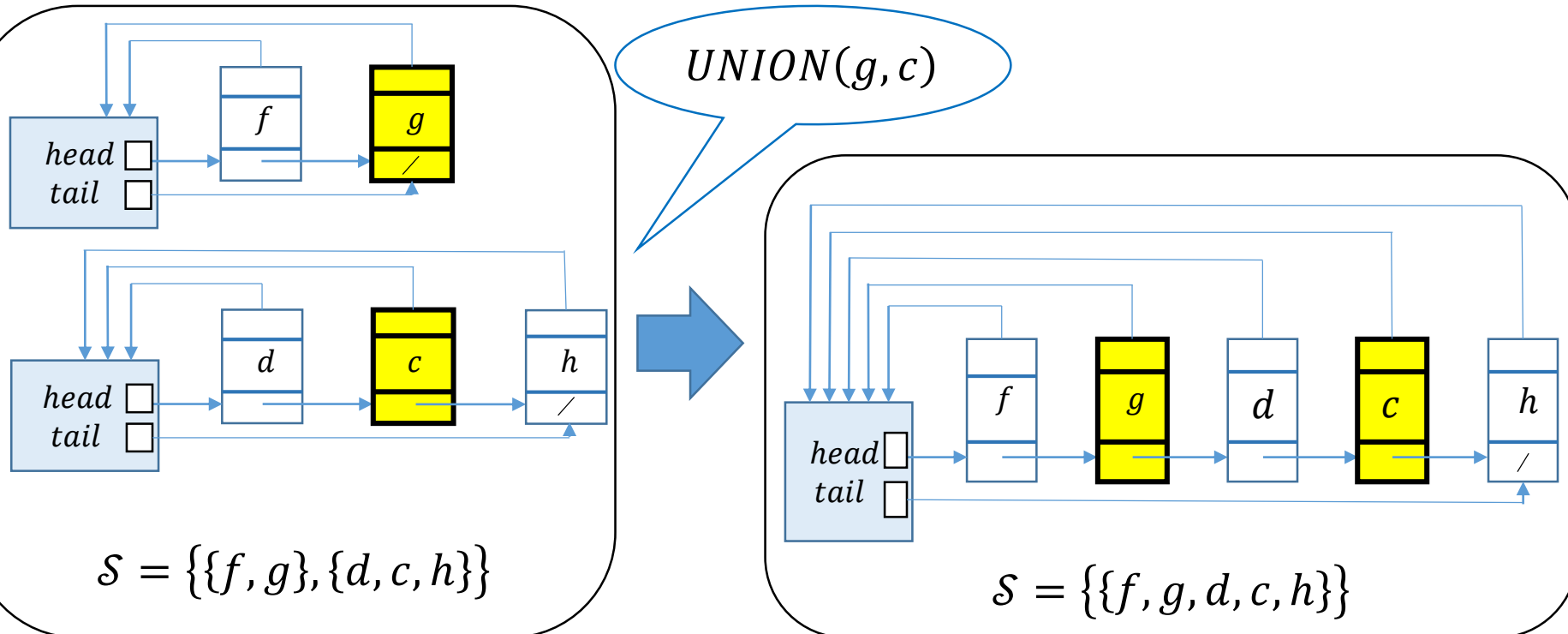
操作 $MAKE-SET(x)$

- 新たな連結リストを作る.
 1. 新たなダミーと, 要素が x の新たなノードを作る.
 2. このダミーの $head$ と $tail$ をこのノードに初期化.
 3. このノードの $next$ は $NULL$ に, $back$ はこのダミーに初期化.



操作 $UNION(x, y)$

- 二つのリストのポインタを張り替えて, 統合する.
 - x, y を含むリストをそれぞれ L_x, L_y とする.
 - 1. L_x の末尾ノードの $next$ を L_y の先頭ノードに更新.
 - 2. L_x のダミーの $tail$ を L_y の末尾ノードに更新.
 - 3. L_y のすべてのノードの $back$ を L_x のダミーに更新.



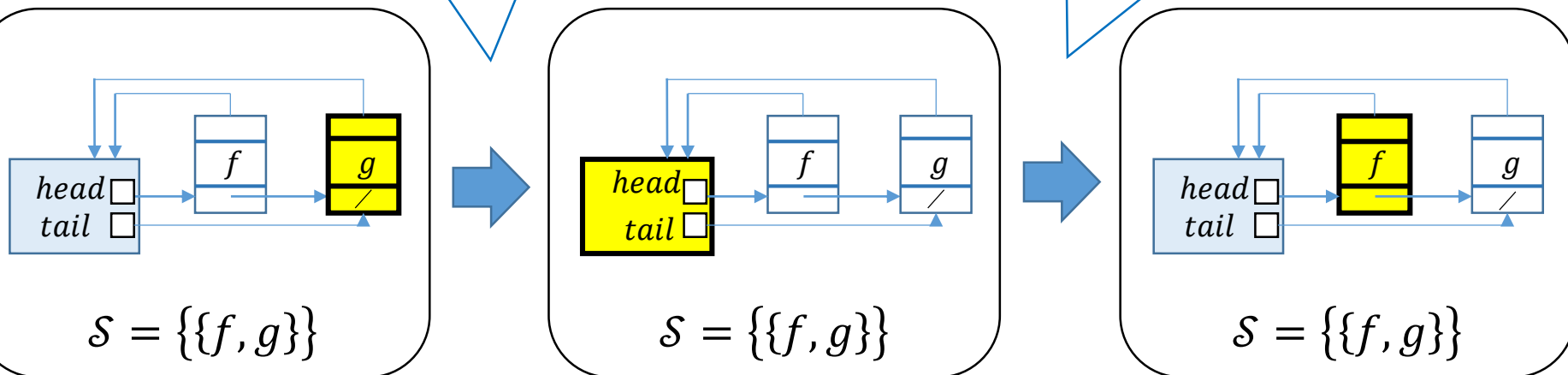
操作 $FIND-SET(x)$

- x からポインタをたどり, 最初のノード(代表元)を得る.
 - x を含むリストを L_x とする.
 1. x の $back$ をたどり, L_x のダミーを得る.
 2. L_x のダミーから $head$ をたどり L_x の代表元を得る.

$FIND-SET(g)$ を実行すると...

g から $back$ をたどる

ダミーから $head$ をたどる



ならし計算量

- データ構造における m 回の連続した操作にかかる時間計算量が $O(T(m))$ であるとき,
 $O\left(\frac{T(m)}{m}\right)$ をならし計算量とする.
 - 1 回あたりの操作にかかる時間計算量の効率をはかる指標.

計算量解析のための準備

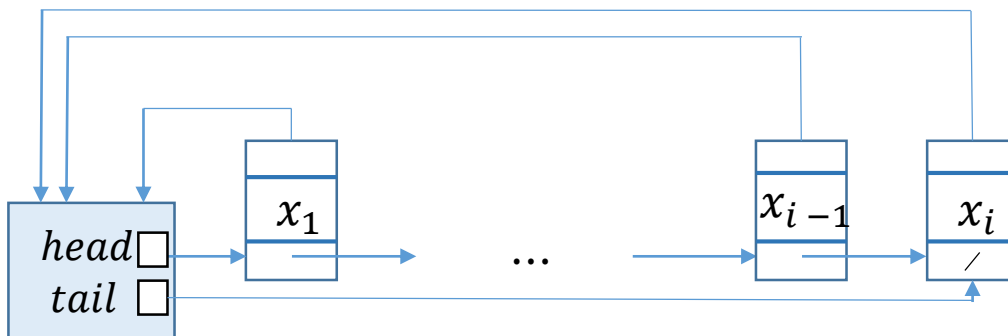
- $n := \text{MAKE-SET}(x)$ を実行した回数
- $f := \text{FIND-SET}(x)$ を実行した回数
- $m :=$ 実行した操作回数の合計

計算効率 (工夫なし)

- 右のような $2n - 1$ 回の操作列を考える.
- n 回の $MAKE-SET(x)$ を行うのに $\Theta(n)$.
- $n - 1$ 回の $UNION(x, y)$ を行うのに $\Theta(n^2)$.

よって, 操作 1 回の
ならし計算量は $\Theta(n)$

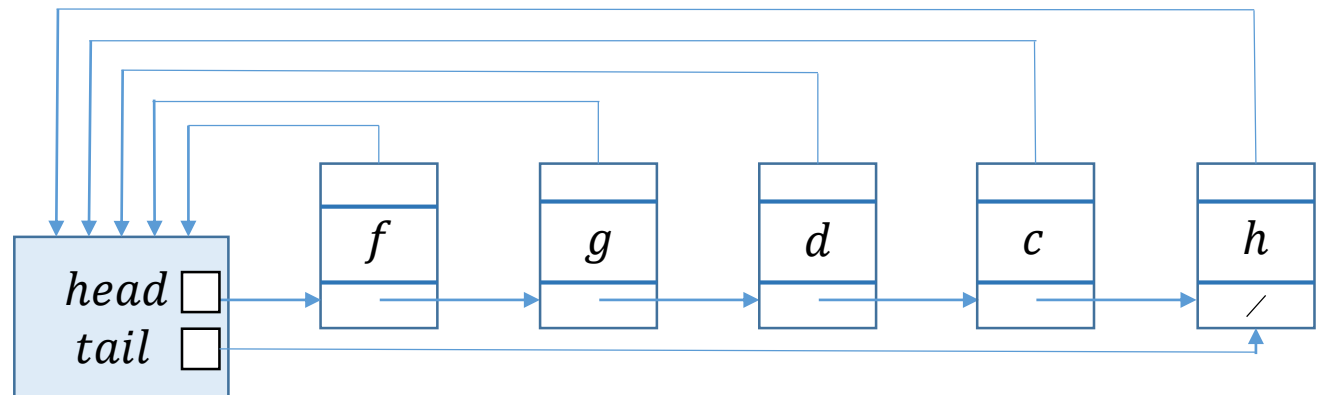
$UNION(i + 1, i)$ で i 箇所の
 $back$ ポインタの更新が起こる.



操作	更新が起こる ノードの数
$MAKE-SET(x_1)$	1
\vdots	\vdots
$MAKE-SET(x_n)$	1
$UNION(x_2, x_1)$	1
$UNION(x_3, x_2)$	2
$UNION(x_4, x_3)$	3
\vdots	\vdots
$UNION(x_n, x_{n-1})$	$n - 1$

計算量を改善する工夫

- 各リストが持つノードの個数を **長さ** とする.
- *UNION* 操作の際, 長さの小さいほうのリストを大きいほうのリストに付加するようにする.
 - つまり, 長さが小さいほうのリストの *back* ポインタを張り替える.
 - $length(L) :=$ リスト L の長さ.

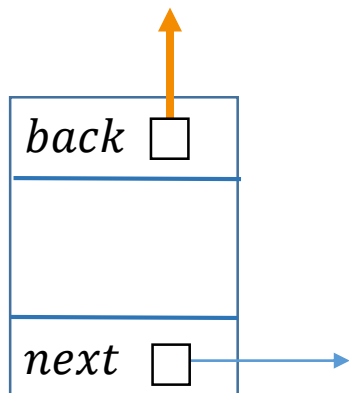


$$length(L) = 5$$

計算効率 (工夫あり)

- あるノード x の $back$ ポインタが, 全体で更新される回数に注目.
- x の $back$ ポインタが張り替わるとき, そのリストの長さは少なくとも 2 倍になる.
- リストの長さは高々 $n - 1$ であるので
各ノードの $back$ ポインタの更新回数は高々 $\lceil \log_2 n \rceil$.
- よって $UNION$ 操作全体の時間計算量は $O(n \log n)$.
- $MAKE-SET$ と $FIND-SET$ の時間計算量は $O(1)$ であるので
操作 1 回のならし計算量は $O(\log n)$.

L_x : x を含むリスト



$back$ ポインタの
更新回数は
高々 $\lceil \log_2 n \rceil$

x の更新回数	L_x の長さ
1	少なくとも 2
2	少なくとも 4
3	少なくとも 8
\vdots	\vdots
$\lceil \log_2 k \rceil$	少なくとも k

21.1 Disjoint-set operations

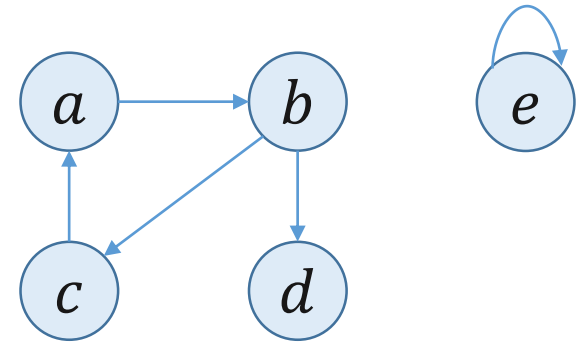
21.2 Linked-list representation of disjoint sets

21.3 Disjoint-set forests

21.4 Analysis of union by rank with path compression

(準備 1/3) 有向グラフ

- **有向グラフ** G とは, 有限集合 V と, V 上の二項関係 E との組である.
 - $G = (V, E)$ と表す.
 - V を**頂点集合**と呼び, V の要素を**頂点**と呼ぶ.
 - E を**辺集合**と呼び, E の要素を**辺**と呼ぶ.



頂点は円で表現され,
辺は矢印で表現される

$$G = (V, E)$$

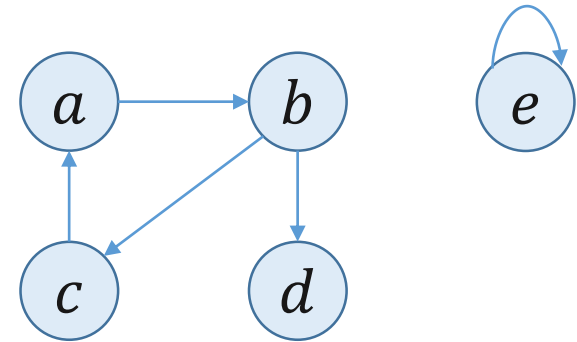
$$V = \{a, b, c, d, e\}$$

$$E = \{(a, b), (c, a), (b, c), (b, d), (e, e)\}$$

(準備 2/3) パス

- 有向グラフ G における**パス** p とは, 以下の性質を満たす頂点の列 (v_0, v_1, \dots, v_k) である.
 - (性質 2) $i = 1, 2, \dots, k$ に対して, $(v_{i-1}, v_i) \in E$
- v_0 を**始点**, v_k を**終点**, k を**長さ**と呼ぶ.

右の有向グラフにおいて...



(a, b, c) は**パス**

(a, b, c, a, b, d) は**パス**

(e, e) は**パス**

(e) は**パス**

(e, a) は**パスではない**

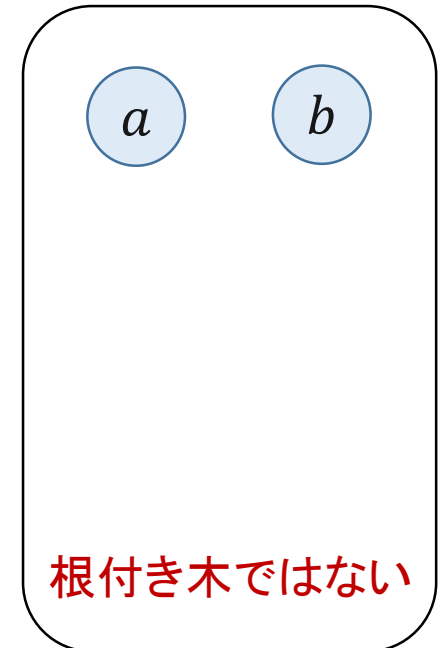
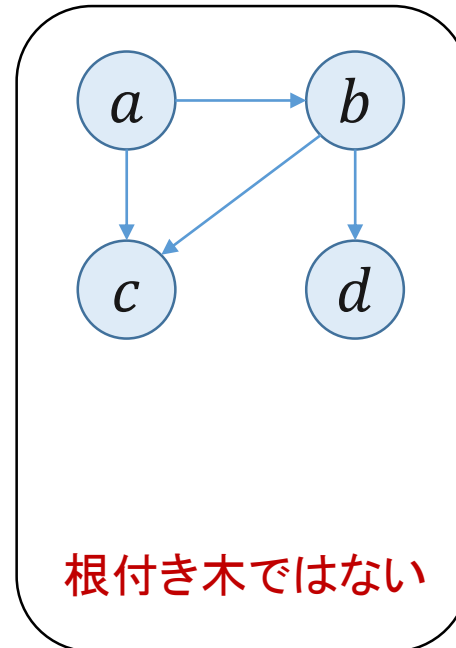
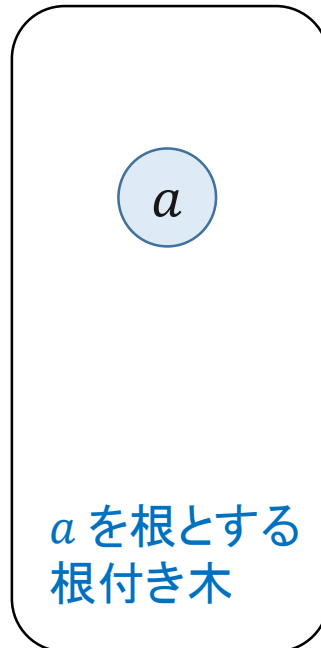
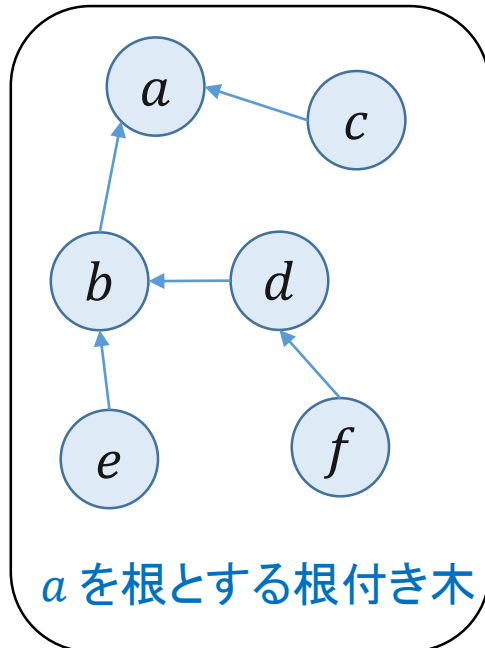
$$G = (V, E)$$

$$V = \{a, b, c, d, e\}$$

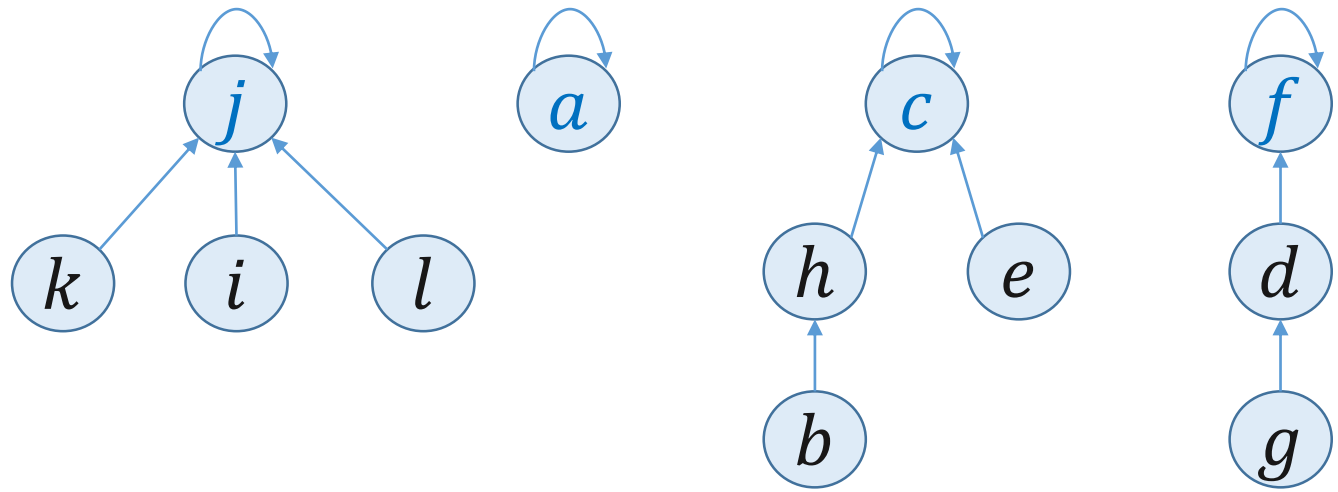
$$E = \{(a, b), (c, a), (b, c), (b, d), (e, e)\}$$

(準備 3/3) 根付き木

- 有向グラフ G と G の頂点 r が以下の性質を満たすとき, G は r を根とする根付き木であるという.
 - (性質) $x \in V$ に対して, 始点が x , 終点が r となるパスがちょうど一つ存在する.



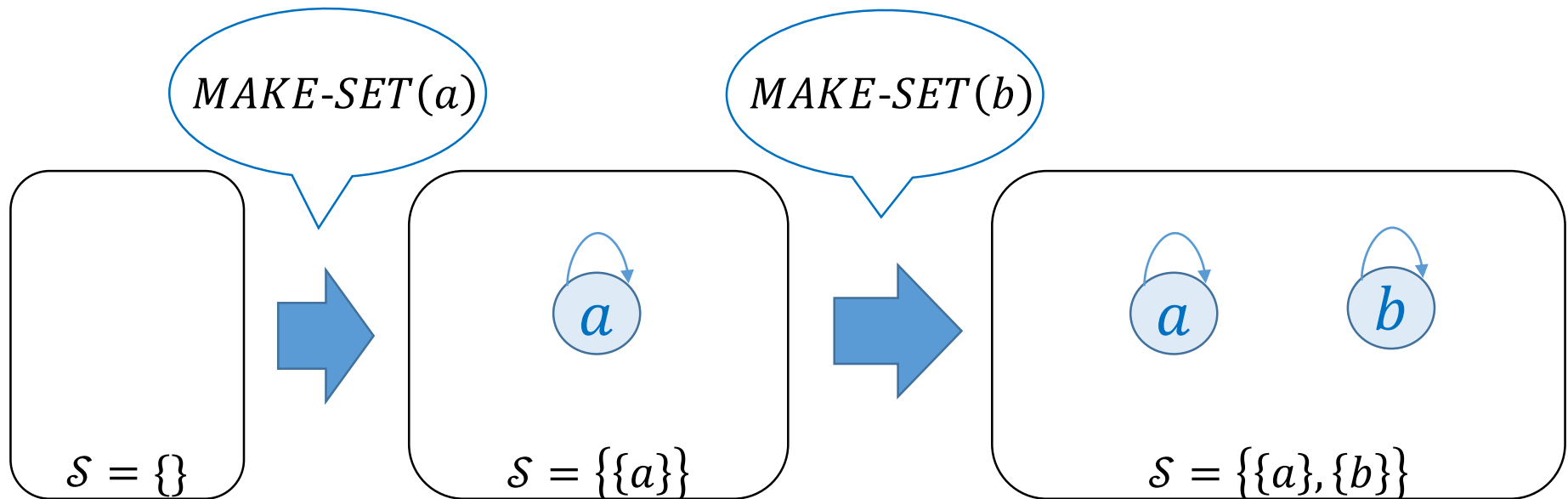
- **素集合森** では, 各集合を根付き木 $\mathcal{G} = \{G_1, G_2, \dots\}$ で表現する.
- 代表元は各根付き木における根とする.
- 各頂点は, 自身の親へのポインタ (*par*) を持つ.
- 根の *par* は自分自身とする.



$$\mathcal{S} = \{\{j, k, i, l\}, \{a\}, \{b, c, e, h\}, \{d, f, g\}\}$$

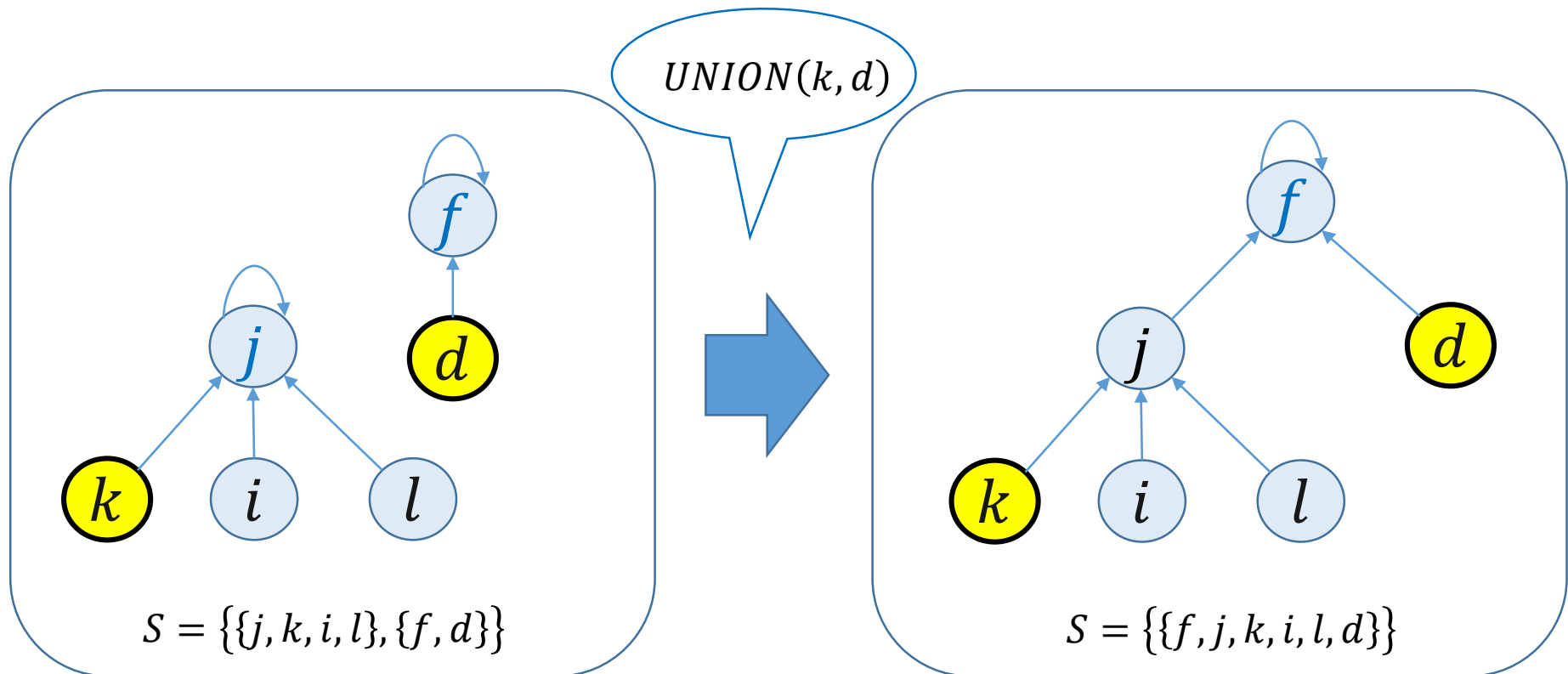
$MAKE-SET(x)$

- 新たな根付き木 $G = (\{x\}, \emptyset)$ を作る.
 1. 頂点 x を新たに作る.
 2. x の par を x に初期化.



$UNION(x, y)$

- 二つの根付き木のポインタを張り替えて, 統合する.
 - x, y を含む根付き木をそれぞれ G_x, G_y とする.
 - 1. G_x の根の par を G_y の根に更新.
 - 根を取得するのに $FIND-SET(x)$ $FIND-SET(y)$ が必要.



$FIND-SET(x)$

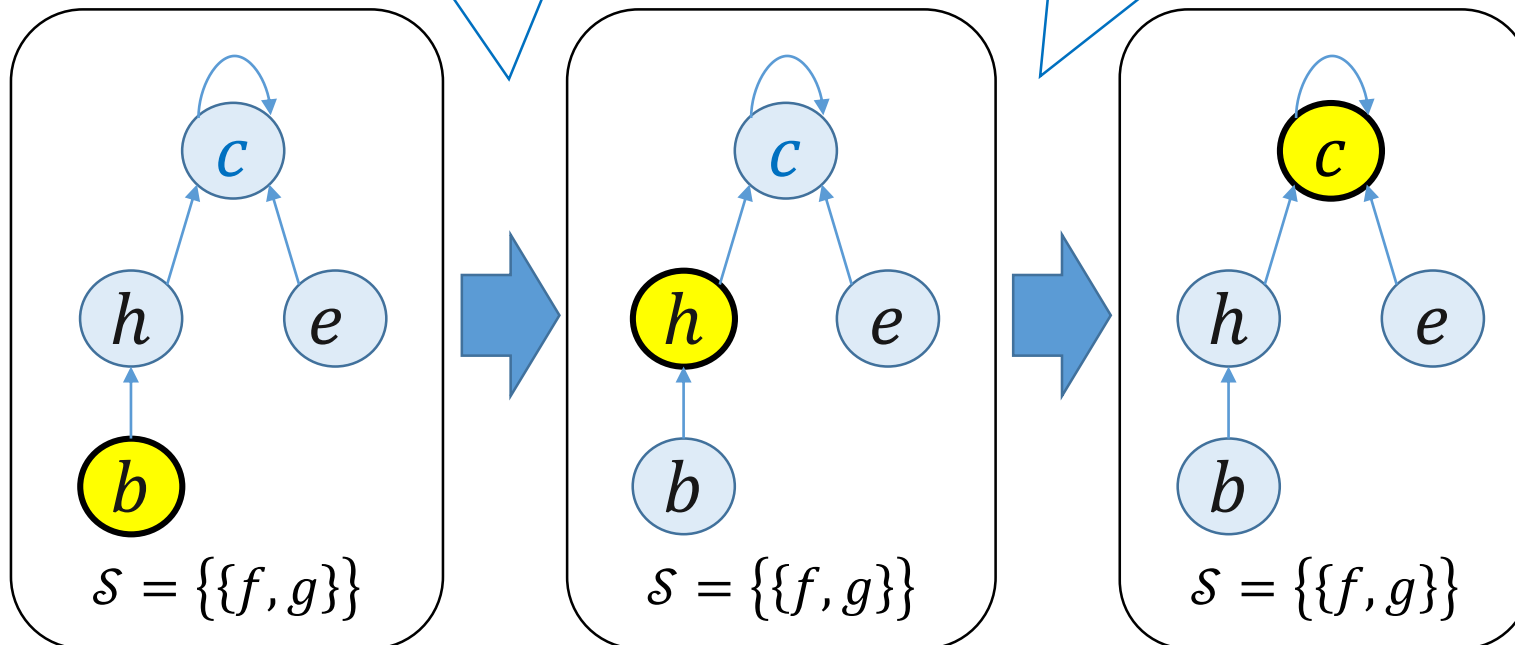
- x からポインタをたどり, 根(代表元)を得る.
 - x を含む根付き木を G_x とする.
 - 1. x から根にたどり着くまで par をたどり, G_x の根を得る.

$FIND-SET(b)$ を実行すると...

b から $back$ をたどる

h から $back$ をたどる

根にたどり着いたので c を得る

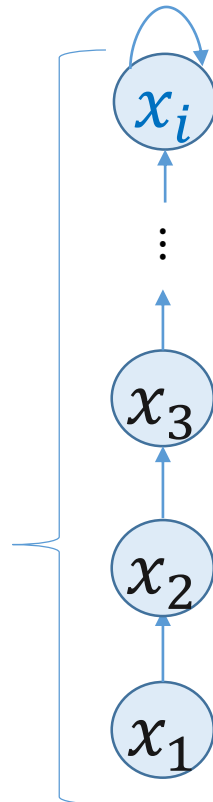


計算効率 (工夫なし)

- 右のような $2n - 1$ 回の操作列を考える.
- n 回の $MAKE-SET(x)$ を行うのに $\Theta(n)$.
- $n - 1$ 回の $UNION(x, y)$ を行うのに $\Theta(n^2)$.

よって, 操作 1 回の
ならし計算量は $\Theta(n)$

$i + 1$ 回目の操作では,
 par ポインタを x_1 から x_i まで
 i 回たどる必要がある



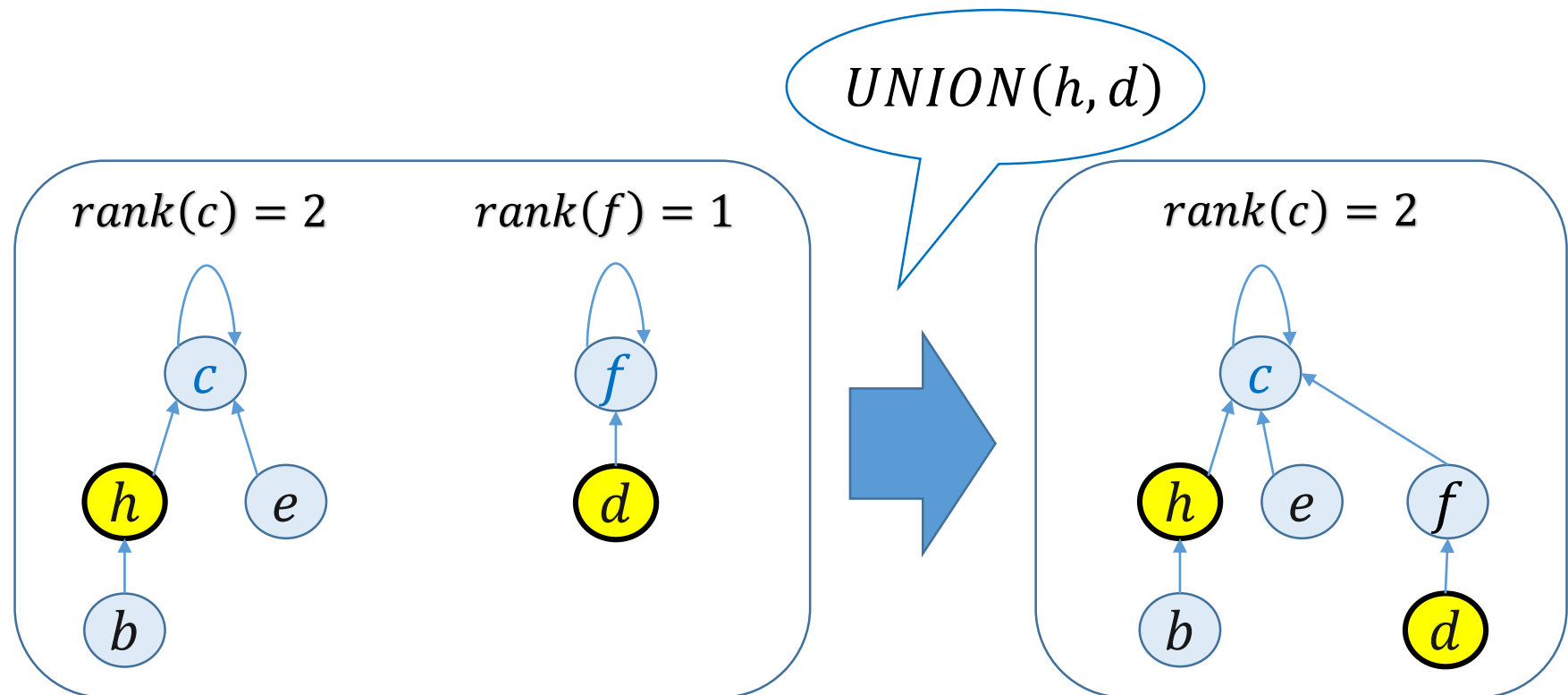
操作	更新が起こるノードの数
$MAKE-SET(x_1)$	1
\vdots	\vdots
$MAKE-SET(x_n)$	1
$UNION(x_1, x_2)$	1
$UNION(x_1, x_3)$	2
$UNION(x_1, x_4)$	3
\vdots	\vdots
$UNION(x_1, x_n)$	$n - 1$

計算量を改善する工夫

- 素集合森における, 計算量改善の工夫は二つ.
 1. union by rank
 2. path compression

工夫1 union by rank

- 各頂点に *rank* という情報を持たせる.
 - $\text{rank}(x)$:= 終点が x であるようなパスの, 長さの最大値.
- $\text{UNION}(x, y)$ を行う際, *rank* が小さい方の根を, 大きい方の根に繋ぎ変えるような工夫.

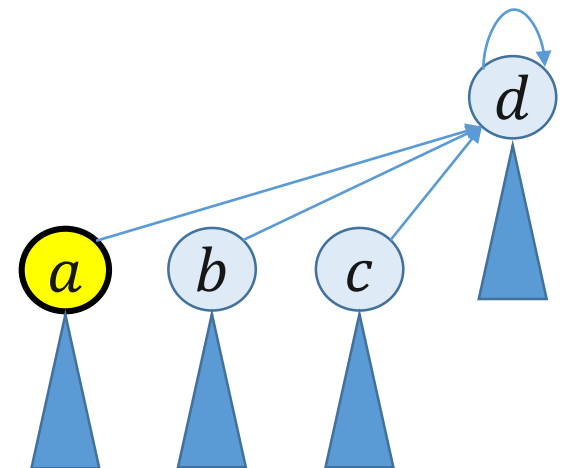
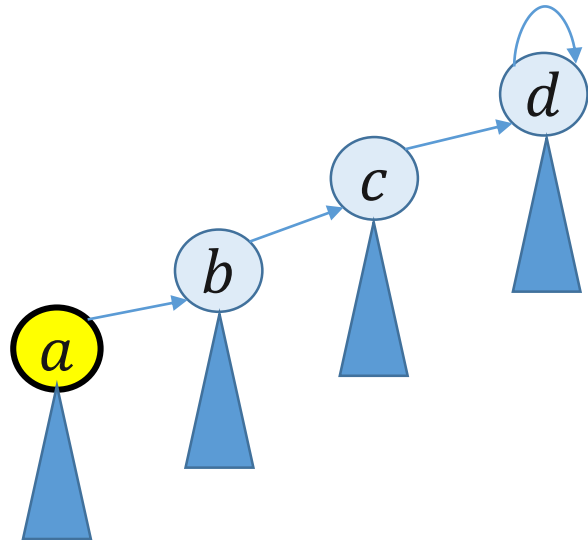


工夫2 path compression

- $FIND-SET(x)$ を行なう際, 始点が x , 終点が G_x の根であるようなパスを *find path* と呼ぶ.
- *find path* 上のすべての頂点の par を G_x の根にする.
 - ただし, $rank(x)$ は変えないものとする.

find path = (a, b, c, d)

$FIND(a)$



各操作の擬似コード

- $x.rank$: 頂点 x のランク
- $x.p$: 頂点 x の par

MAKE-SET(x)

```
1  $x.p \leftarrow x$   
2  $x.rank \leftarrow 0$ 
```

FIND-SET(x)

```
1 if  $x.rank \neq x.p$   
2    $x.p \leftarrow FIND-SET(x.p)$   
3 return  $x$ 
```

LINK(x, y)

```
1 if  $x.rank > y.rank$   
2    $y.p = x$   
3 else  
4    $x.p \leftarrow y$   
5   if  $x.rank == y.rank$   
6      $y.rank \leftarrow y.rank + 1$ 
```

UNION(x, y)

```
1  $LINK(FIND-SET(x), FIND-SET(y))$ 
```

$MAKE-SET(x)$ の擬似コード

- $x.rank$: 頂点 x のランク
- $x.p$: 頂点 x の par

$MAKE-SET(x)$

- 1 $x.p \leftarrow x$
- 2 $x.rank \leftarrow 0$

$MAKE-SET(x)$ の擬似コード

- $x.rank$: 頂点 x のランク
- $x.p$: 頂点 x の par

$MAKE-SET(x)$

- 1 $x.p \leftarrow x$
- 2 $x.rank \leftarrow 0$

$x.p$ を x で初期化



$MAKE-SET(x)$ の擬似コード

- $x.rank$: 頂点 x のランク
- $x.p$: 頂点 x の par

$MAKE-SET(x)$

- 1 $x.p \leftarrow x$
- 2 $x.rank \leftarrow 0$

$x.rank$ を 0 で初期化



$FIND-SET(x)$ の擬似コード

- $x.rank$: 頂点 x のランク
- $x.p$: 頂点 x の par

$FIND-SET(x)$

```
1  if  $x.rank \neq x.p$   
2     $x.p \leftarrow FIND-SET(x.p)$   
3  return  $x$ 
```

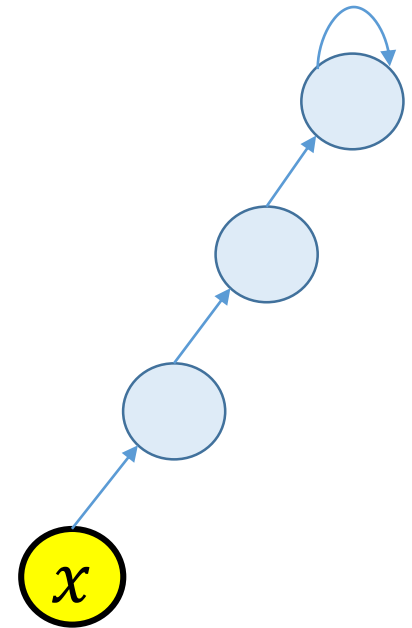
$FIND-SET(x)$ の擬似コード

- $x.rank$: 頂点 x のランク
- $x.p$: 頂点 x の par

$FIND-SET(x)$

```
1  if  $x.rank \neq x.p$   
2     $x.p \leftarrow FIND-SET(x.p)$   
3  return  $x$ 
```

x が根ではないなら



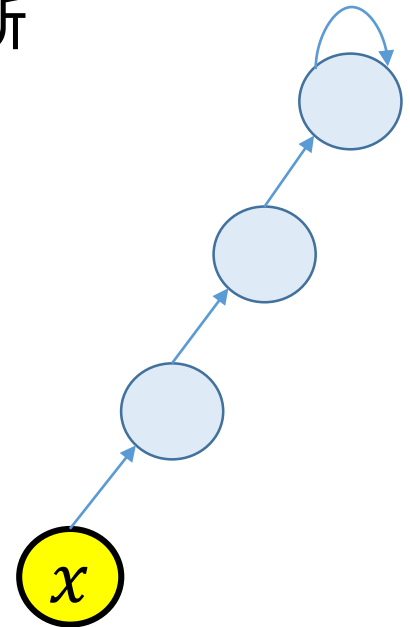
$FIND-SET(x)$ の擬似コード

- $x.rank$: 頂点 x のランク
- $x.p$: 頂点 x の par

$FIND-SET(x)$

```
1  if  $x.rank \neq x.p$   
2     $x.p \leftarrow FIND-SET(x.p)$   
3  return  $x$ 
```

x が根ではないなら
再帰手続きを呼び出して
 $x.p$ を根に更新



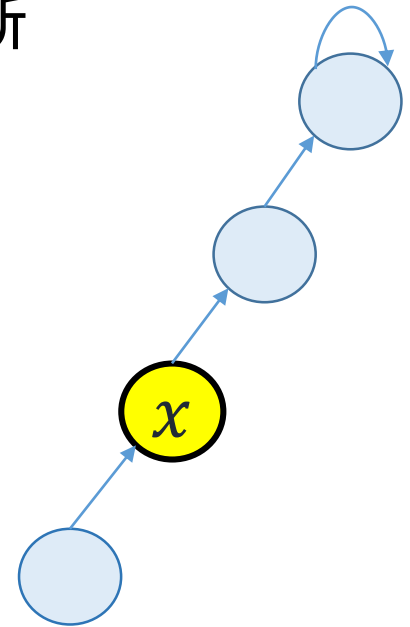
$FIND-SET(x)$ の擬似コード

- $x.rank$: 頂点 x のランク
- $x.p$: 頂点 x の par

$FIND-SET(x)$

```
1  if  $x.rank \neq x.p$   
2     $x.p \leftarrow FIND-SET(x.p)$   
3  return  $x$ 
```

x が根ではないなら
再帰手続きを呼び出して
 $x.p$ を根に更新



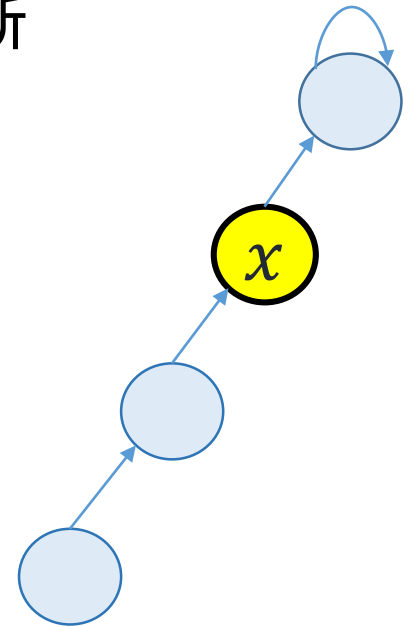
$FIND-SET(x)$ の擬似コード

- $x.rank$: 頂点 x のランク
- $x.p$: 頂点 x の par

$FIND-SET(x)$

```
1  if  $x.rank \neq x.p$   
2     $x.p \leftarrow FIND-SET(x.p)$   
3  return  $x$ 
```

x が根ではないなら
再帰手続きを呼び出して
 $x.p$ を根に更新



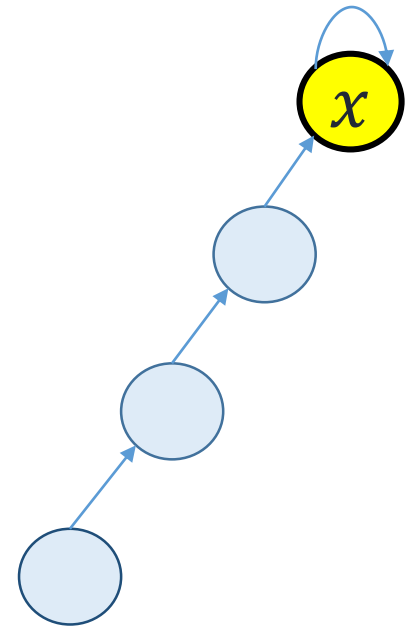
$FIND-SET(x)$ の擬似コード

- $x.rank$: 頂点 x のランク
- $x.p$: 頂点 x の par

$FIND-SET(x)$

```
1  if  $x.rank \neq x.p$   
2     $x.p \leftarrow FIND-SET(x.p)$   
3  return  $x$ 
```

x が根なら
 x 自身を返す



$UNION(x, y)$ の擬似コード

- $x.rank$: 頂点 x のランク
- $x.p$: 頂点 x の par

$UNION(x, y)$

1 $LINK(FIND-SET(x), FIND-SET(y))$

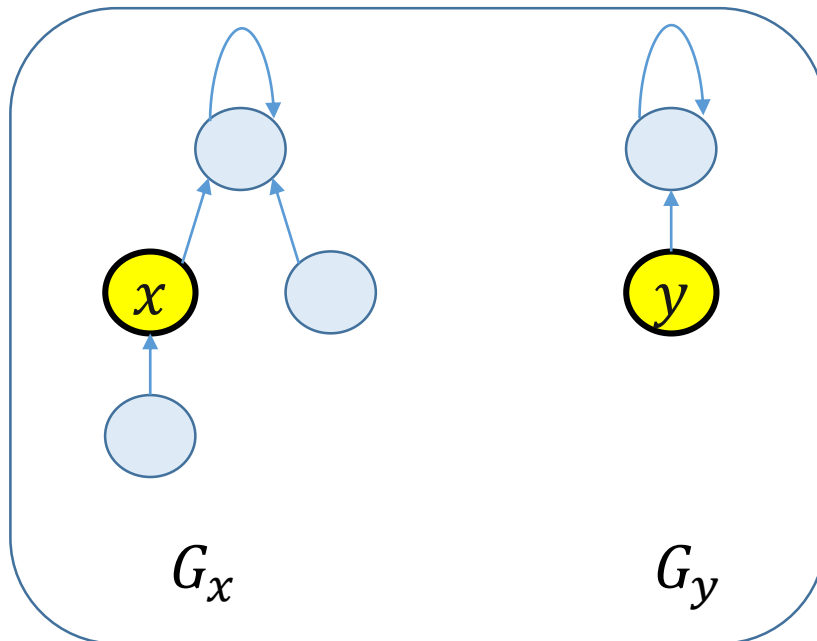
$UNION(x, y)$ の擬似コード

- $x.rank$: 頂点 x のランク
- $x.p$: 頂点 x の par

$UNION(x, y)$

1 $LINK(FIND-SET(x), FIND-SET(y))$

$FIND(x), FIND(y)$
を呼び出して



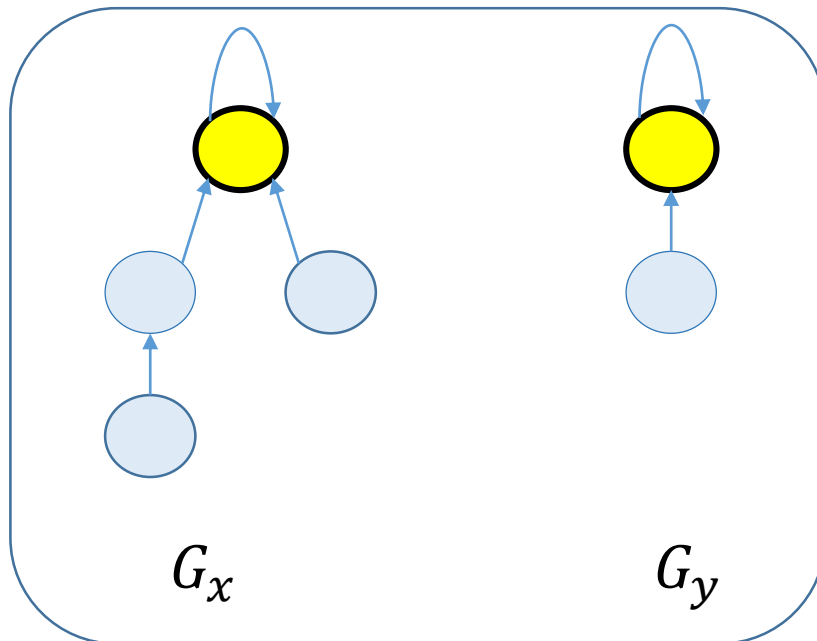
$UNION(x, y)$ の擬似コード

- $x.rank$: 頂点 x のランク
- $x.p$: 頂点 x の par

$UNION(x, y)$

1 $LINK(FIND-SET(x), FIND-SET(y))$

G_x, G_y の根を
 $LINK$ に渡す.



$LINK(x, y)$ の擬似コード

- $x.rank$: 頂点 x のランク
- $x.p$: 頂点 x の par

```
 $LINK(x, y)$   
1  if  $x.rank > y.rank$   
2     $y.p \leftarrow x$   
3  else  
4     $x.p \leftarrow y$   
5    if  $x.rank == y.rank$   
6       $y.rank \leftarrow y.rank + 1$ 
```

$LINK(x, y)$ の擬似コード

- $x.rank$: 頂点 x のランク
- $x.p$: 頂点 x の par

$LINK(x, y)$

```
1  if  $x.rank > y.rank$ 
2     $y.p \leftarrow x$ 
3  else
4     $x.p \leftarrow y$ 
5    if  $x.rank == y.rank$ 
6       $y.rank \leftarrow y.rank + 1$ 
```

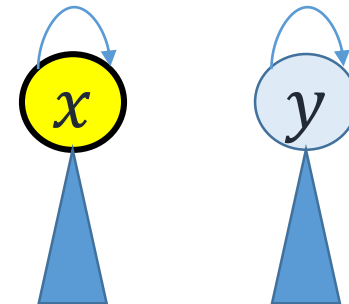
$LINK(x, y)$ は $UNION(x, y)$ のサブルーチンで
二つの根を入力として受け取る

$LINK(x, y)$ の擬似コード

- $x.rank$: 頂点 x のランク
- $x.p$: 頂点 x の par

```
 $LINK(x, y)$   
1  if  $x.rank > y.rank$   
2     $y.p \leftarrow x$   
3  else  
4     $x.p \leftarrow y$   
5    if  $x.rank == y.rank$   
6       $y.rank \leftarrow y.rank + 1$ 
```

$x.rank > y.rank$ の時

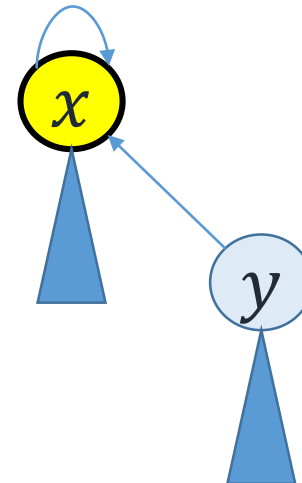


$LINK(x, y)$ の擬似コード

- $x.rank$: 頂点 x のランク
- $x.p$: 頂点 x の par

```
 $LINK(x, y)$   
1  if  $x.rank > y.rank$   
2     $y.p \leftarrow x$   
3  else  
4     $x.p \leftarrow y$   
5    if  $x.rank == y.rank$   
6       $y.rank \leftarrow y.rank + 1$ 
```

$x.rank > y.rank$ の時
 $y.p$ を x に更新

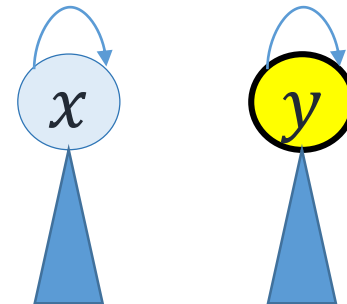


$LINK(x, y)$ の擬似コード

- $x.rank$: 頂点 x のランク
- $x.p$: 頂点 x の par

```
 $LINK(x, y)$   
1  if  $x.rank > y.rank$   
2     $y.p \leftarrow x$   
3  else  
4     $x.p \leftarrow y$   
5    if  $x.rank == y.rank$   
6       $y.rank \leftarrow y.rank + 1$ 
```

$x.rank \leq y.rank$ の時

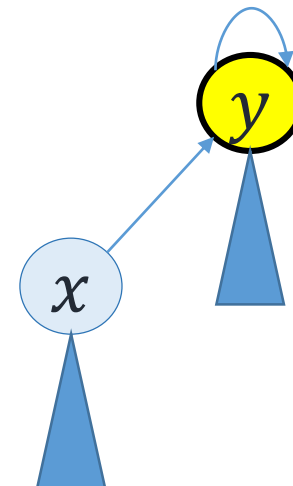


$LINK(x, y)$ の擬似コード

- $x.rank$: 頂点 x のランク
- $x.p$: 頂点 x の par

```
 $LINK(x, y)$   
1  if  $x.rank > y.rank$   
2     $y.p \leftarrow x$   
3  else  
4     $x.p \leftarrow y$   
5    if  $x.rank == y.rank$   
6       $y.rank \leftarrow y.rank + 1$ 
```

$x.rank \leq y.rank$ の時
 $x.p$ を y に更新

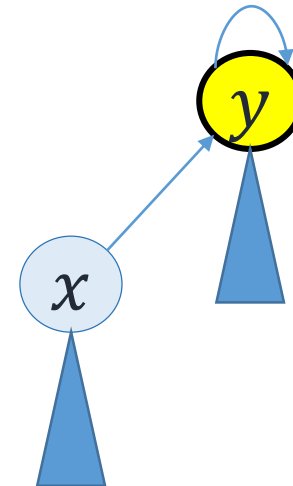


$LINK(x, y)$ の擬似コード

- $x.rank$: 頂点 x のランク
- $x.p$: 頂点 x の par

```
 $LINK(x, y)$   
1  if  $x.rank > y.rank$   
2     $y.p \leftarrow x$   
3  else  
4     $x.p \leftarrow y$   
5    if  $x.rank == y.rank$   
6       $y.rank \leftarrow y.rank + 1$ 
```

$x.rank \leq y.rank$ の時
 $x.p$ を y に更新
特に $x.rank = y.rank$ の時

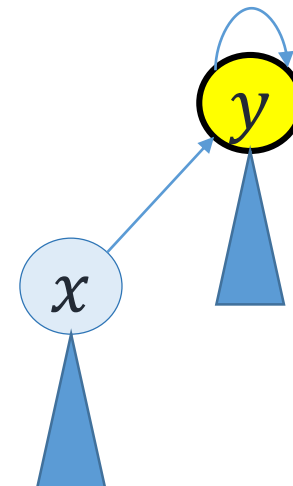


$LINK(x, y)$ の擬似コード

- $x.rank$: 頂点 x のランク
- $x.p$: 頂点 x の par

```
 $LINK(x, y)$   
1  if  $x.rank > y.rank$   
2     $y.p \leftarrow x$   
3  else  
4     $x.p \leftarrow y$   
5    if  $x.rank == y.rank$   
6       $y.rank \leftarrow y.rank + 1$ 
```

$x.rank \leq y.rank$ の時
 $x.p$ を y に更新
特に $x.rank = y.rank$ の時
 $y.rank$ を 1 増やす



各操作の擬似コード(再掲)

- $x.rank$: 頂点 x のランク
- $x.p$: 頂点 x の par

MAKE-SET(x)

```
1  $x.p \leftarrow x$   
2  $x.rank \leftarrow 0$ 
```

FIND-SET(x)

```
1 if  $x.rank \neq x.p$   
2    $x.p \leftarrow FIND-SET(x.p)$   
3 return  $x$ 
```

LINK(x, y)

```
1 if  $x.rank > y.rank$   
2    $y.p \leftarrow x$   
3 else  
4    $x.p \leftarrow y$   
5   if  $x.rank == y.rank$   
6      $y.rank \leftarrow y.rank + 1$ 
```

UNION(x, y)

```
1  $LINK(FIND-SET(x), FIND-SET(y))$ 
```


各操作の実行例

$LINK(a, b)$ を実行
 $b.rank$ が 1 に増加

操作列

$LINK(a, b)$

$LINK(c, d)$

$LINK(e, d)$

$LINK(b, d)$

$FIND(a)$

$LINK(f, g)$

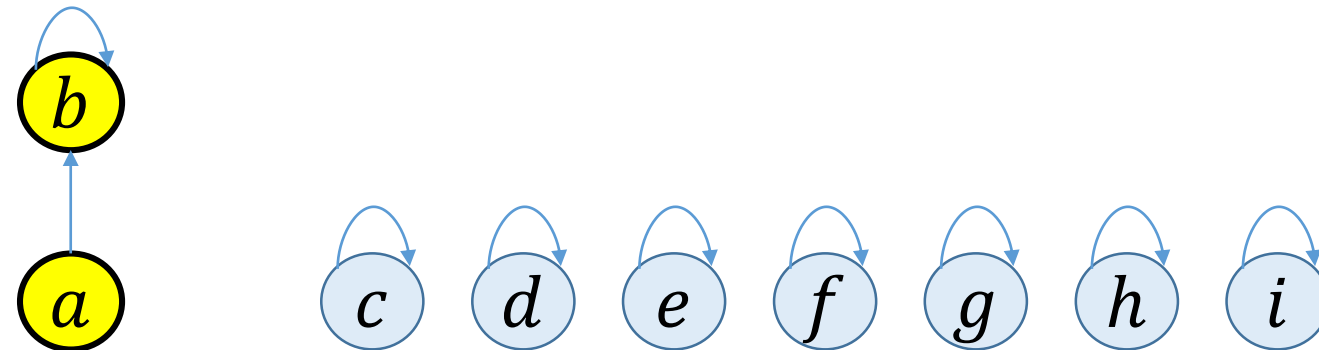
$LINK(h, i)$

$LINK(g, i)$

$LINK(i, d)$

$FIND(g)$

$FIND(h)$



頂点	<u>a</u>	<u>b</u>	c	d	e	f	g	h	i
rank	0	1	0	0	0	0	0	0	0

各操作の実行例

$LINK(c, d)$ を実行

操作列

$LINK(a, b)$

→ $LINK(c, d)$

$LINK(e, d)$

$LINK(b, d)$

$FIND(a)$

$LINK(f, g)$

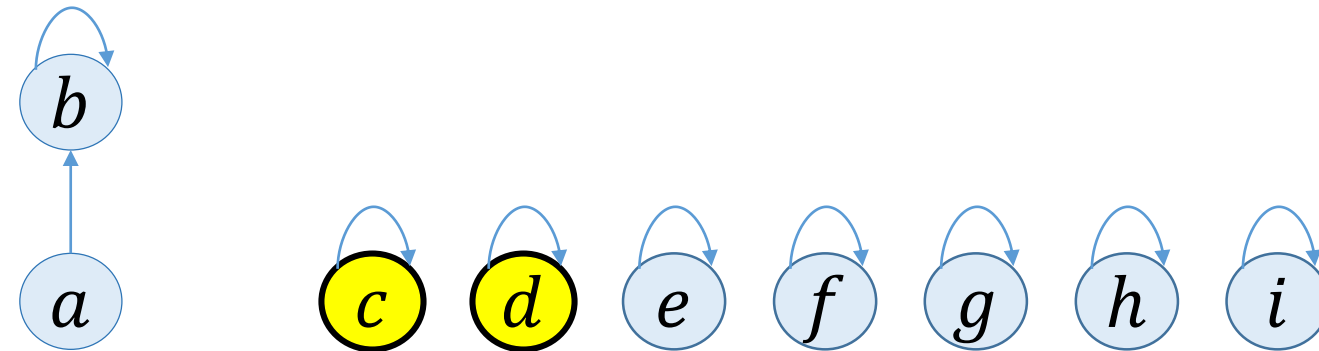
$LINK(h, i)$

$LINK(g, i)$

$LINK(i, d)$

$FIND(g)$

$FIND(h)$



頂点	a	b	<u>c</u>	<u>d</u>	e	f	g	h	i
rank	0	1	0	0	0	0	0	0	0

各操作の実行例

$LINK(c, d)$ を実行
 $d.rank$ が 1 に増加

操作列

$LINK(a, b)$

$LINK(c, d)$

$LINK(e, d)$

$LINK(b, d)$

$FIND(a)$

$LINK(f, g)$

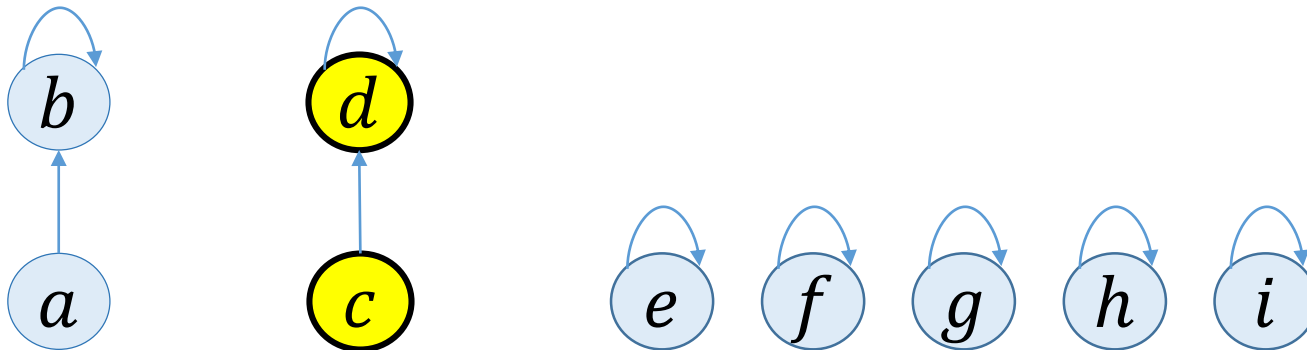
$LINK(h, i)$

$LINK(g, i)$

$LINK(i, d)$

$FIND(g)$

$FIND(h)$



頂点	a	b	c	<u>d</u>	e	f	g	h	i
rank	0	1	0	1	0	0	0	0	0

各操作の実行例

$LINK(e, d)$ を実行

操作列

$LINK(a, b)$

$LINK(c, d)$

$LINK(e, d)$

$LINK(b, d)$

$FIND(a)$

$LINK(f, g)$

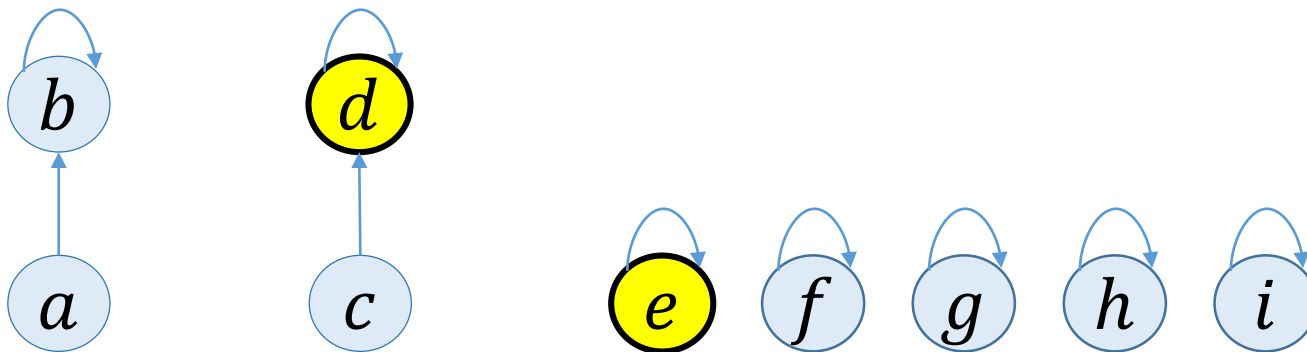
$LINK(h, i)$

$LINK(g, i)$

$LINK(i, d)$

$FIND(g)$

$FIND(h)$



頂点	a	b	c	<u>d</u>	<u>e</u>	f	g	h	i
rank	0	1	0	1	0	0	0	0	0

各操作の実行例

$LINK(e, d)$ を実行
 $rank$ は 変化しない

操作列

$LINK(a, b)$

$LINK(c, d)$

→ $LINK(e, d)$

$LINK(b, d)$

$FIND(a)$

$LINK(f, g)$

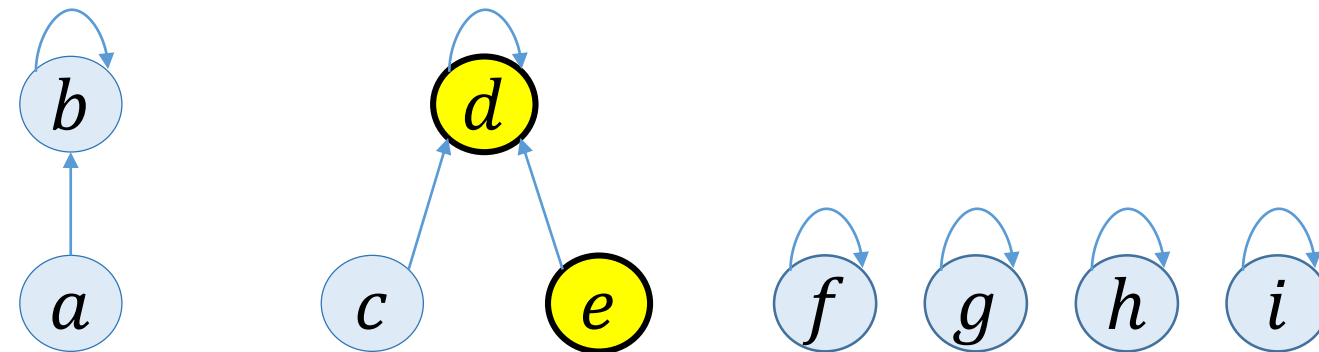
$LINK(h, i)$

$LINK(g, i)$

$LINK(i, d)$

$FIND(g)$

$FIND(h)$



頂点	a	b	c	<u>d</u>	<u>e</u>	f	g	h	i
$rank$	0	1	0	1	0	0	0	0	0

各操作の実行例

$LINK(b, d)$ を実行

操作列

$LINK(a, b)$

$LINK(c, d)$

$LINK(e, d)$

→ **$LINK(b, d)$**

$FIND(a)$

$LINK(f, g)$

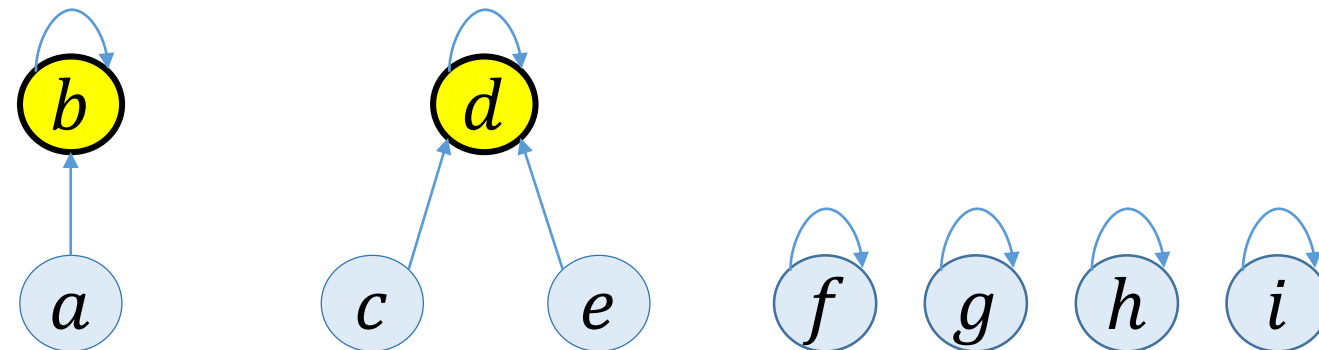
$LINK(h, i)$

$LINK(g, i)$

$LINK(i, d)$

$FIND(g)$

$FIND(h)$



頂点	a	\underline{b}	c	\underline{d}	e	f	g	h	i
rank	0	1	0	1	0	0	0	0	0

各操作の実行例

$LINK(b, d)$ を実行
 $d.rank$ が 2 に増加

操作列

$LINK(a, b)$

$LINK(c, d)$

$LINK(e, d)$

→ $LINK(b, d)$

$FIND(a)$

$LINK(f, g)$

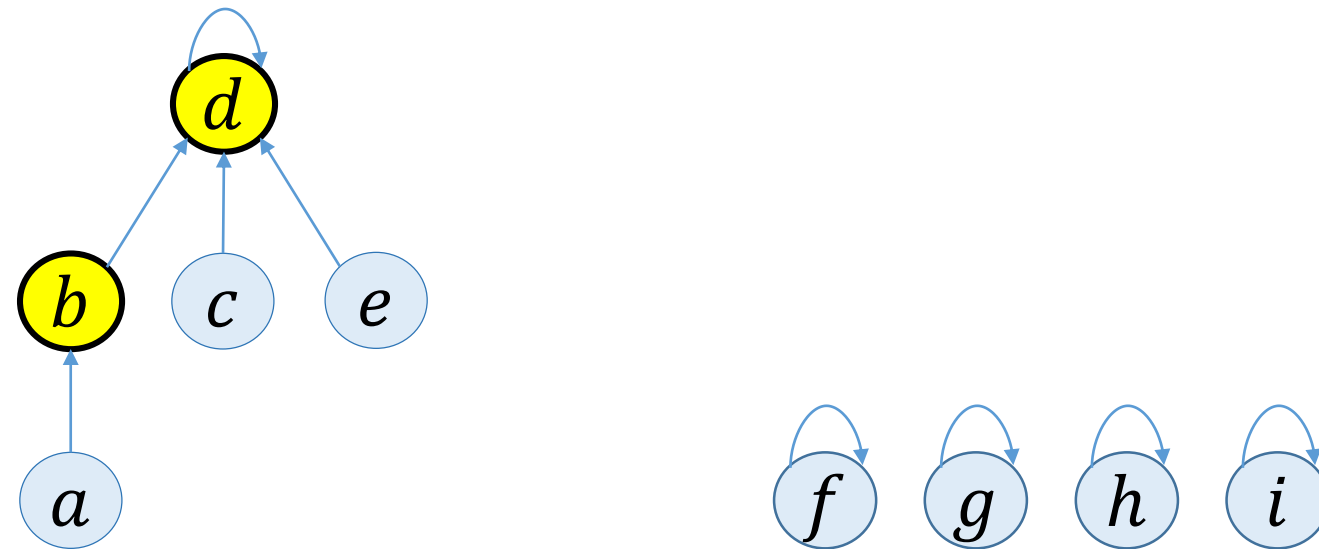
$LINK(h, i)$

$LINK(g, i)$

$LINK(i, d)$

$FIND(g)$

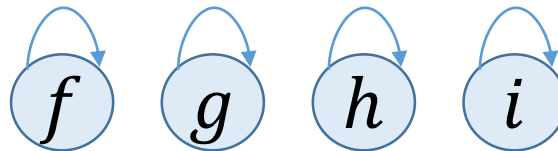
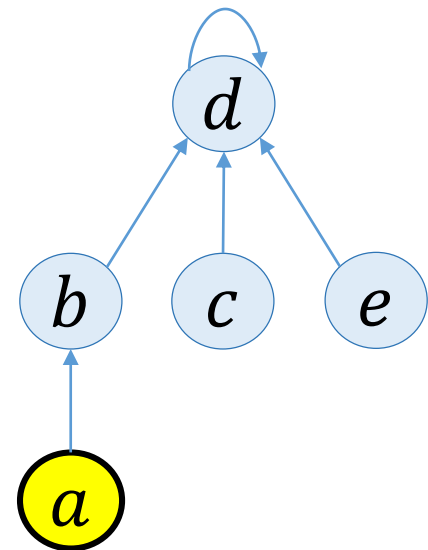
$FIND(h)$



頂点	<i>a</i>	<i><u>b</u></i>	<i>c</i>	<i><u>d</u></i>	<i>e</i>	<i>f</i>	<i>g</i>	<i>h</i>	<i>i</i>
rank	0	1	0	2	0	0	0	0	0

各操作の実行例

$FIND(a)$ を実行



操作列

$LINK(a, b)$

$LINK(c, d)$

$LINK(e, d)$

$LINK(b, d)$

$FIND(a)$

$LINK(f, g)$

$LINK(h, i)$

$LINK(g, i)$

$LINK(i, d)$

$FIND(g)$

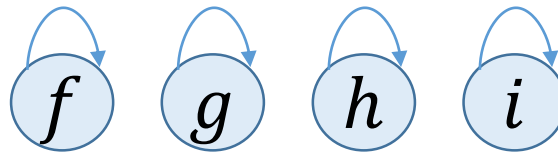
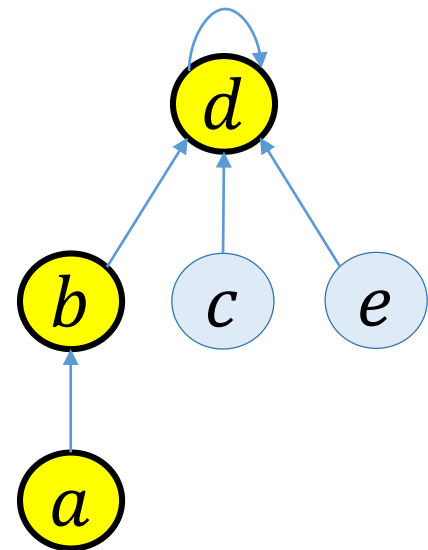
$FIND(h)$



頂点	a	b	c	d	e	f	g	h	i
rank	0	1	0	2	0	0	0	0	0

各操作の実行例

$FIND(a)$ を実行
 $find\ path = (a, b, d)$



操作列

$LINK(a, b)$

$LINK(c, d)$

$LINK(e, d)$

$LINK(b, d)$

$FIND(a)$

$LINK(f, g)$

$LINK(h, i)$

$LINK(g, i)$

$LINK(i, d)$

$FIND(g)$

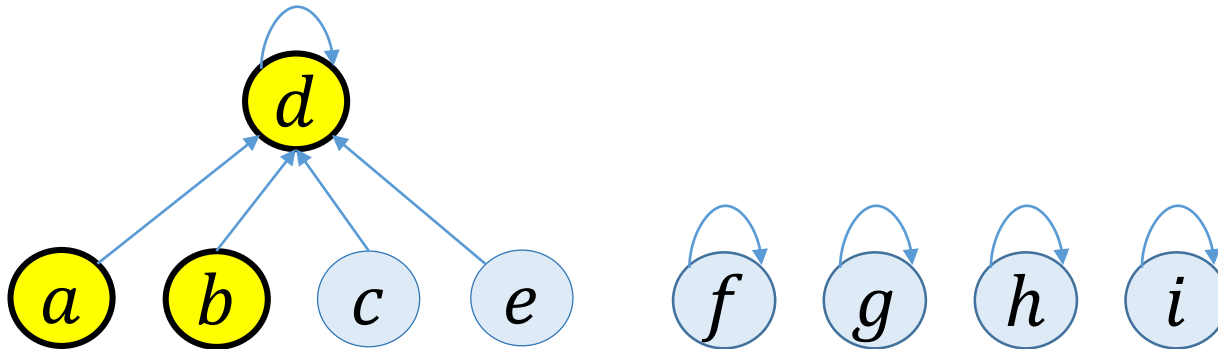
$FIND(h)$



頂点	a	b	c	d	e	f	g	h	i
rank	0	1	0	2	0	0	0	0	0

各操作の実行例

$FIND(a)$ を実行
 $find\ path = (a, b, d)$
 各頂点の par を d に更新



操作列

$LINK(a, b)$

$LINK(c, d)$

$LINK(e, d)$

$LINK(b, d)$

$FIND(a)$

$LINK(f, g)$

$LINK(h, i)$

$LINK(g, i)$

$LINK(i, d)$

$FIND(g)$

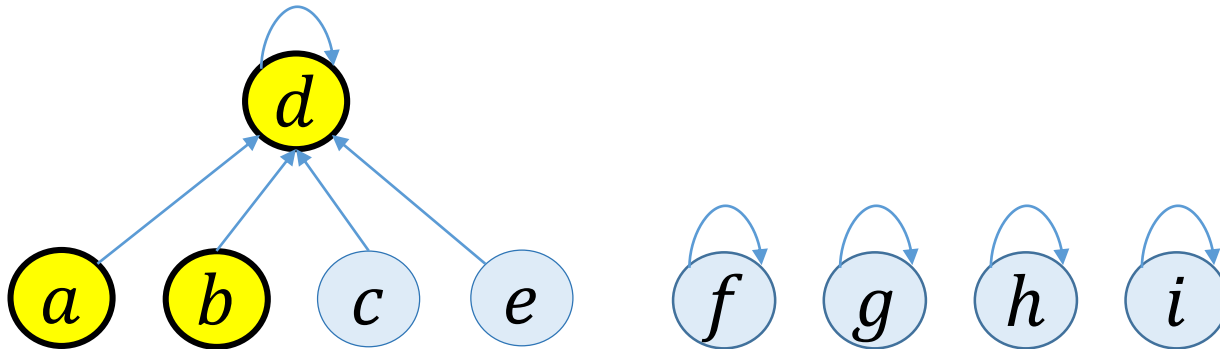
$FIND(h)$

頂点	a	b	c	d	e	f	g	h	i
$rank$	0	1	0	2	0	0	0	0	0

union by rank and path compression

$FIND(a)$ を実行
 $find\ path = (a, b, d)$
 各頂点の par を d に更新

どの頂点も $rank$ は変化しない



操作列

$LINK(a, b)$

$LINK(c, d)$

$LINK(e, d)$

$LINK(b, d)$

$FIND(a)$

$LINK(f, g)$

$LINK(h, i)$

$LINK(g, i)$

$LINK(i, d)$

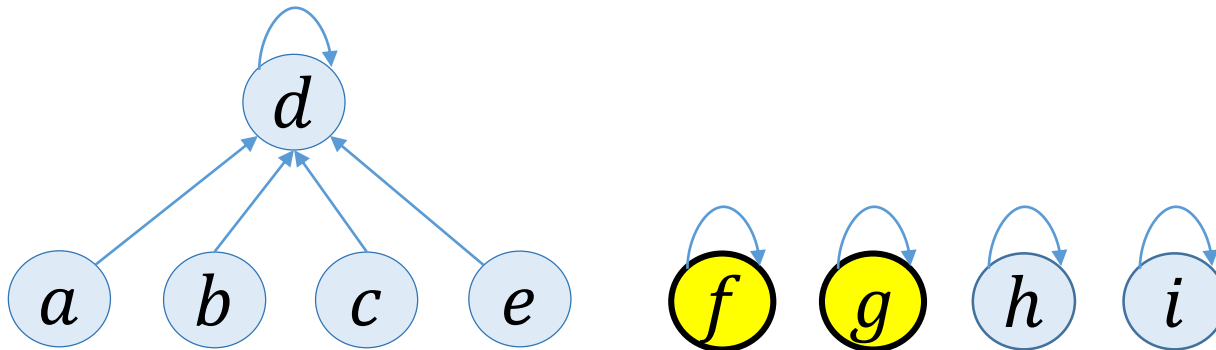
$FIND(g)$

$FIND(h)$

頂点	a	b	c	d	e	f	g	h	i
$rank$	0	1	0	2	0	0	0	0	0

各操作の実行例

$LINK(f, g)$ を実行



操作列

$LINK(a, b)$

$LINK(c, d)$

$LINK(e, d)$

$LINK(b, d)$

$FIND(a)$

➡ $LINK(f, g)$

$LINK(h, i)$

$LINK(g, i)$

$LINK(i, d)$

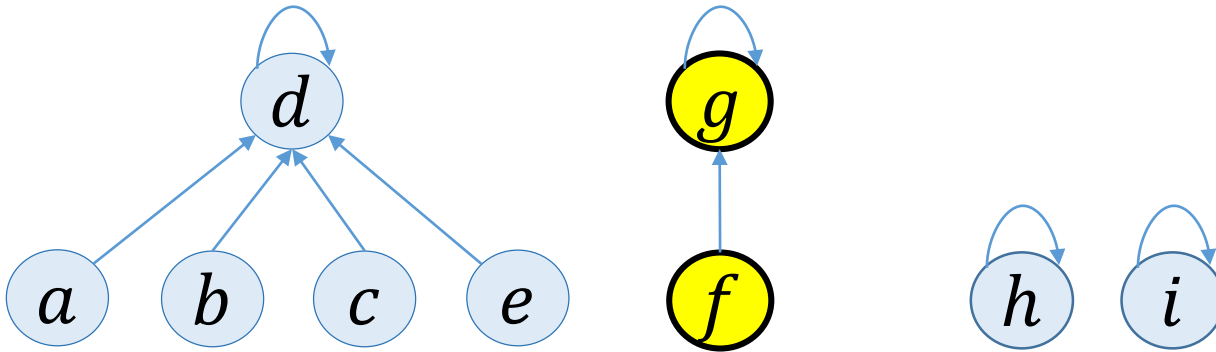
$FIND(g)$

$FIND(h)$

頂点	a	b	c	d	e	f	g	h	i
rank	0	1	0	2	0	0	0	0	0

各操作の実行例

$LINK(f, g)$ を実行
 $g.rank$ が 1 に 増加



操作列

$LINK(a, b)$

$LINK(c, d)$

$LINK(e, d)$

$LINK(b, d)$

$FIND(a)$

→ $LINK(f, g)$

$LINK(h, i)$

$LINK(g, i)$

$LINK(i, d)$

$FIND(g)$

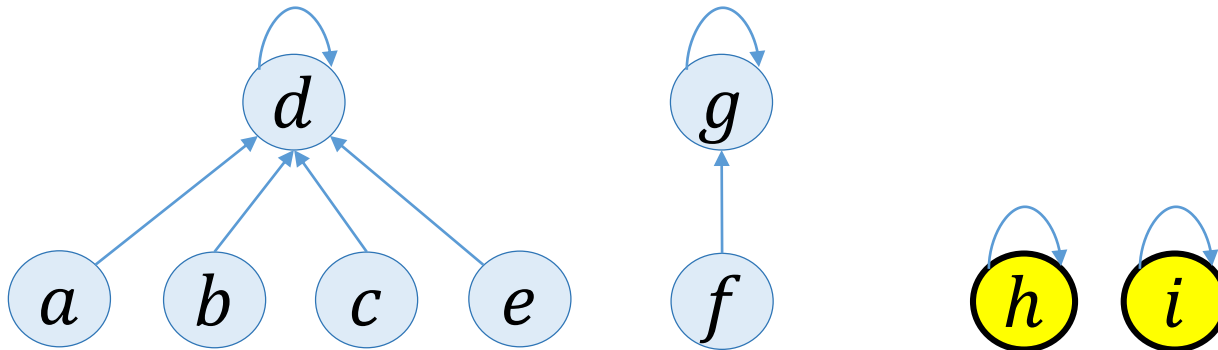
$FIND(h)$

頂点	a	b	c	d	e	f	g	h	i
rank	0	1	0	2	0	0	1	0	0

各操作の実行例

75

$LINK(h, i)$ を実行



操作列

$LINK(a, b)$

$LINK(c, d)$

$LINK(e, d)$

$LINK(b, d)$

$FIND(a)$

$LINK(f, g)$

$LINK(h, i)$

$LINK(g, i)$

$LINK(i, d)$

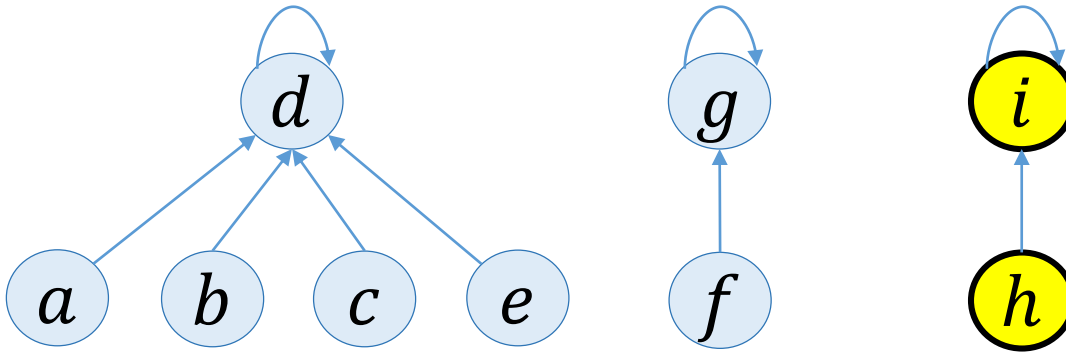
$FIND(g)$

$FIND(h)$

頂点	a	b	c	d	e	f	g	<u>h</u>	<u>i</u>
rank	0	1	0	2	0	0	1	0	0

各操作の実行例

$LINK(h, i)$ を実行
 $h.rank$ が 1 に増加



操作列

$LINK(a, b)$

$LINK(c, d)$

$LINK(e, d)$

$LINK(b, d)$

$FIND(a)$

$LINK(f, g)$

$LINK(h, i)$

$LINK(g, i)$

$LINK(i, d)$

$FIND(g)$

$FIND(h)$

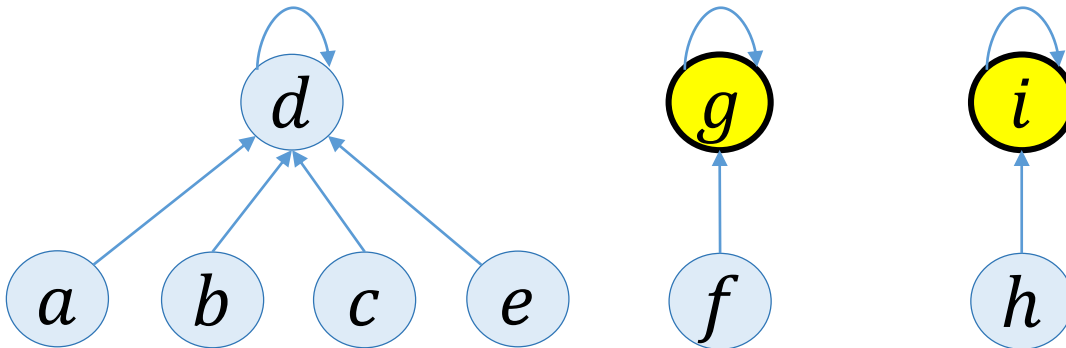


頂点	a	b	c	d	e	f	g	h	i
rank	0	1	0	2	0	0	1	0	1

各操作の実行例

77

$LINK(g, i)$ を実行



操作列

$LINK(a, b)$

$LINK(c, d)$

$LINK(e, d)$

$LINK(b, d)$

$FIND(a)$

$LINK(f, g)$

$LINK(h, i)$

$LINK(g, i)$

$LINK(i, d)$

$FIND(g)$

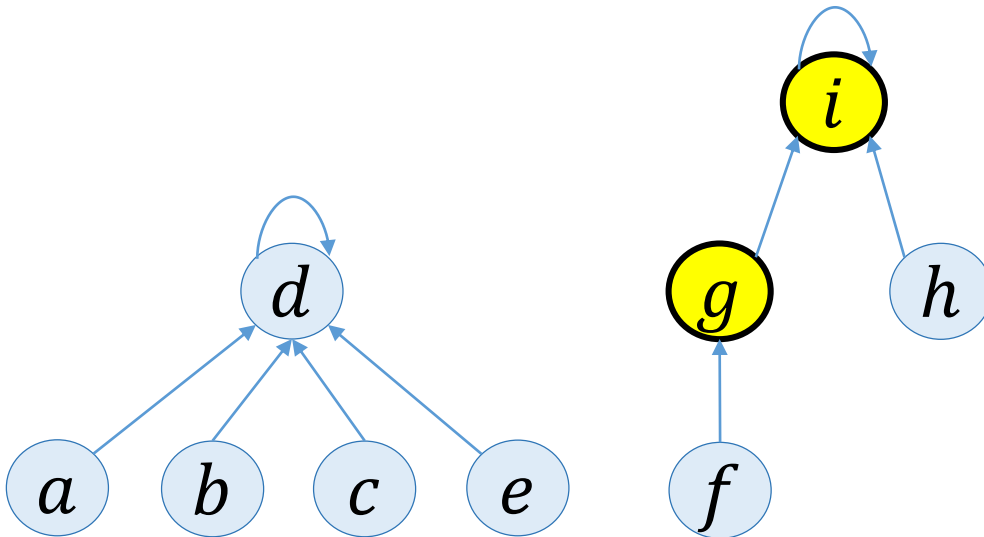
$FIND(h)$



頂点	a	b	c	d	e	f	g	h	i
rank	0	1	0	2	0	0	1	0	1

各操作の実行例

$LINK(g, i)$ を実行
 $i.rank$ が 2 に 増加



操作列

$LINK(a, b)$

$LINK(c, d)$

$LINK(e, d)$

$LINK(b, d)$

$FIND(a)$

$LINK(f, g)$

$LINK(h, i)$

$LINK(g, i)$

$LINK(i, d)$

$FIND(g)$

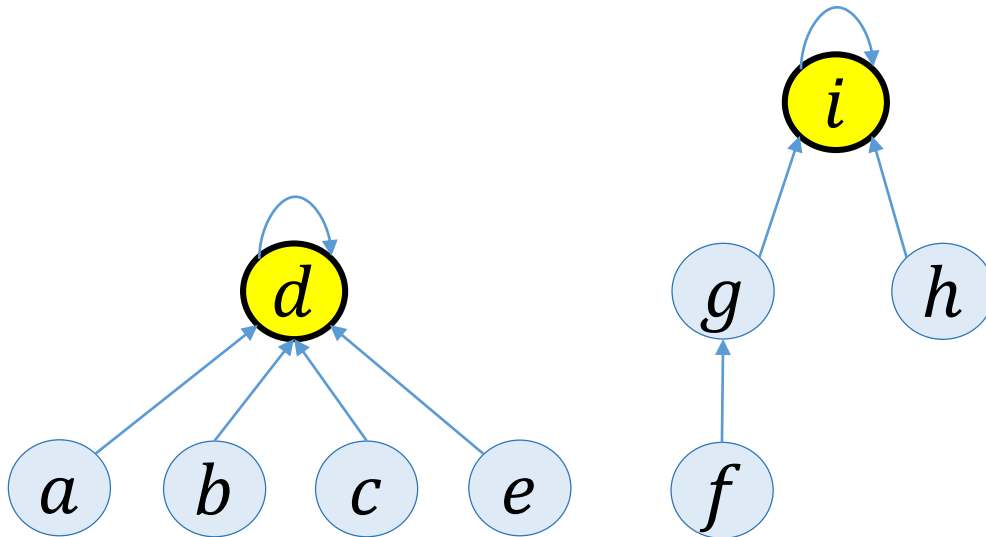
$FIND(h)$



頂点	a	b	c	d	e	f	g	h	i
rank	0	1	0	2	0	0	1	0	2

各操作の実行例

$LINK(i, d)$ を実行



操作列

$LINK(a, b)$

$LINK(c, d)$

$LINK(e, d)$

$LINK(b, d)$

$FIND(a)$

$LINK(f, g)$

$LINK(h, i)$

$LINK(g, i)$

$LINK(i, d)$

$FIND(g)$

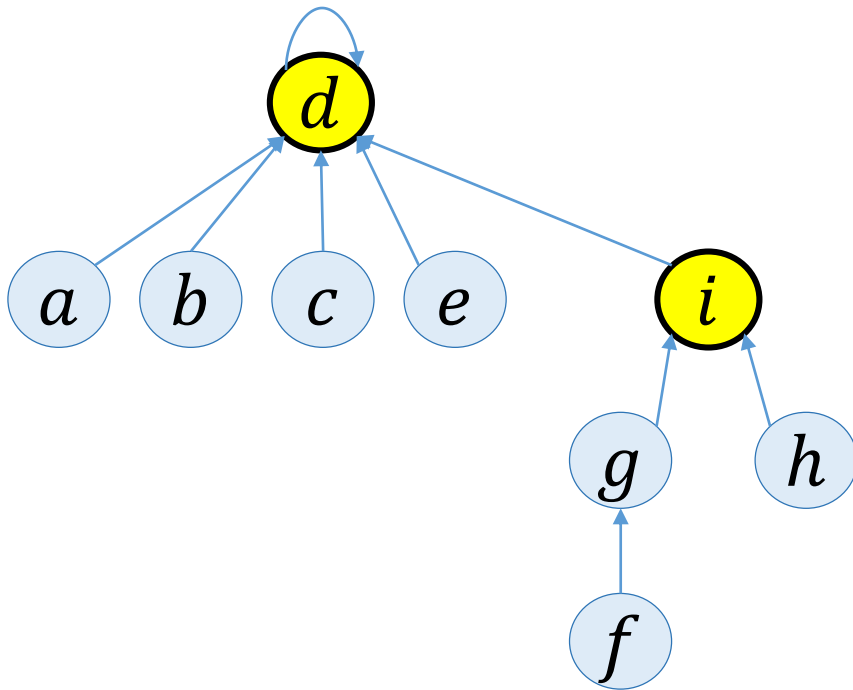
$FIND(h)$



頂点	a	b	c	<u>d</u>	e	f	g	h	<u>i</u>
rank	0	1	0	2	0	0	1	0	2

各操作の実行例

$LINK(i, d)$ を実行
 $d.rank$ が 2 に 増加



操作列

$LINK(a, b)$

$LINK(c, d)$

$LINK(e, d)$

$LINK(b, d)$

$FIND(a)$

$LINK(f, g)$

$LINK(h, i)$

$LINK(g, i)$

$LINK(i, d)$

$FIND(g)$

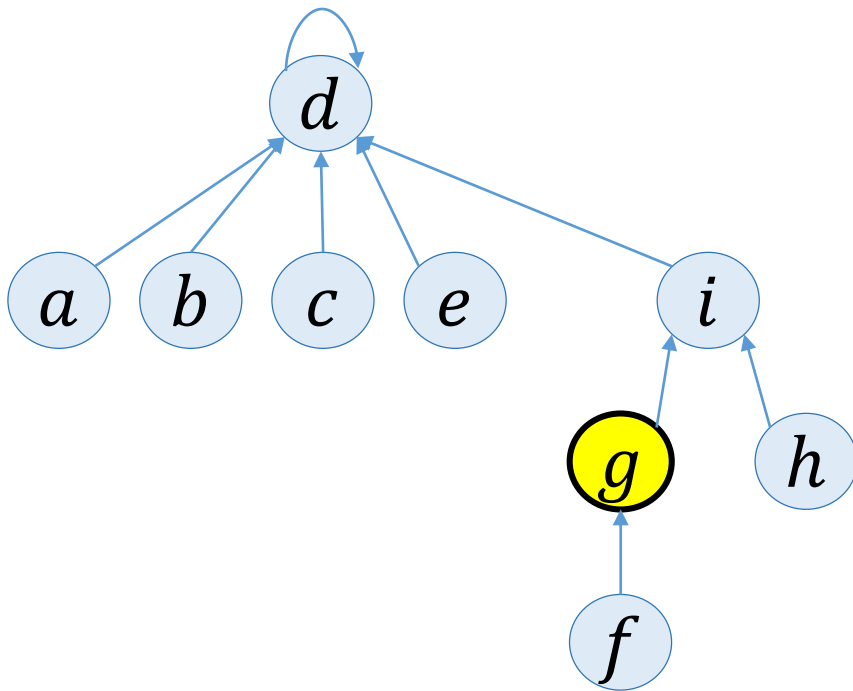
$FIND(h)$



頂点	<i>a</i>	<i>b</i>	<i>c</i>	<u><i>d</i></u>	<i>e</i>	<i>f</i>	<i>g</i>	<i>h</i>	<u><i>i</i></u>
rank	0	1	0	3	0	0	1	0	2

各操作の実行例

$FIND(g)$ を実行



操作列

$LINK(a, b)$

$LINK(c, d)$

$LINK(e, d)$

$LINK(b, d)$

$FIND(a)$

$LINK(f, g)$

$LINK(h, i)$

$LINK(g, i)$

$LINK(i, d)$

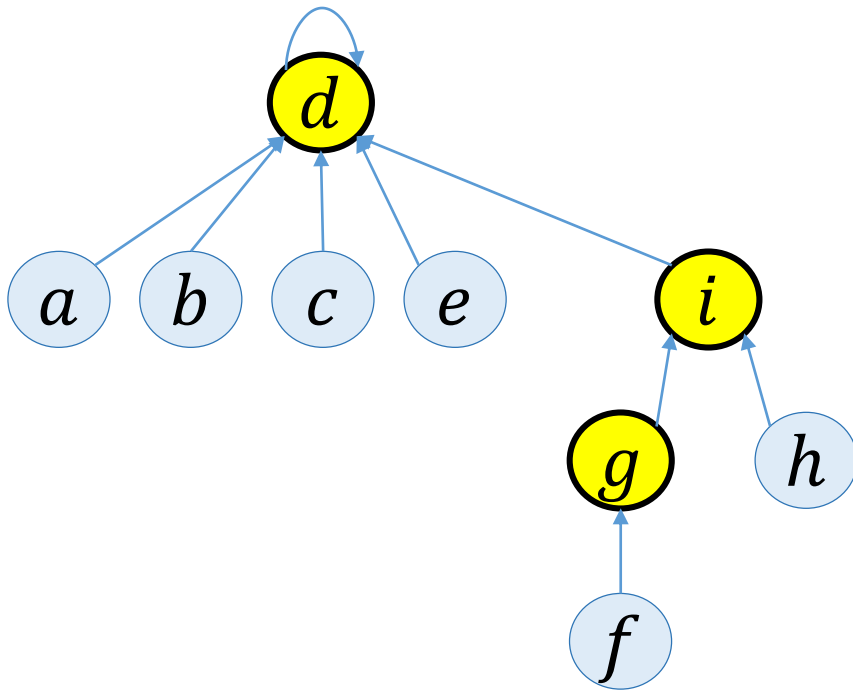
➡ $FIND(g)$

$FIND(h)$

頂点	a	b	c	d	e	f	g	h	i
rank	0	1	0	3	0	0	1	0	2

各操作の実行例

$FIND(g)$ を実行



操作列

$LINK(a, b)$

$LINK(c, d)$

$LINK(e, d)$

$LINK(b, d)$

$FIND(a)$

$LINK(f, g)$

$LINK(h, i)$

$LINK(g, i)$

$LINK(i, d)$

$FIND(g)$

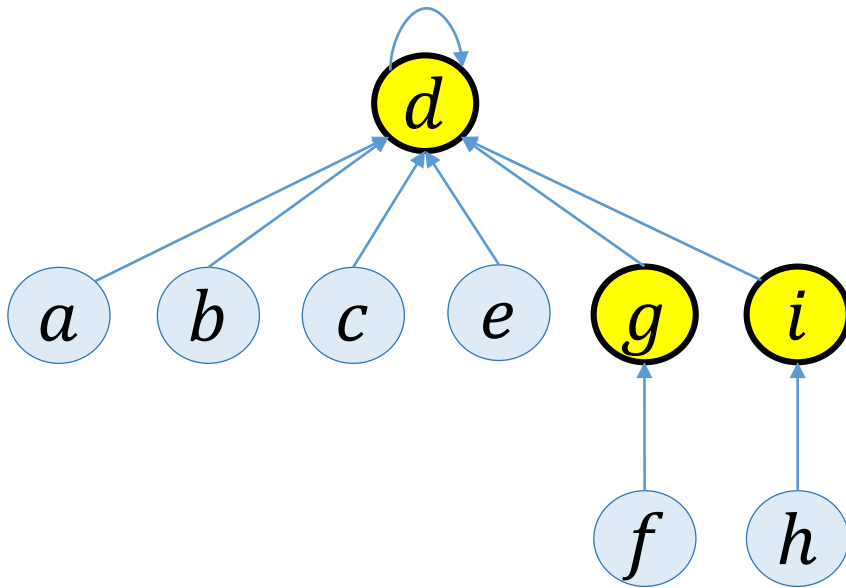
$FIND(h)$



頂点	a	b	c	d	e	f	g	h	i
rank	0	1	0	3	0	0	1	0	2

各操作の実行例

$FIND(g)$ を実行



操作列

$LINK(a, b)$

$LINK(c, d)$

$LINK(e, d)$

$LINK(b, d)$

$FIND(a)$

$LINK(f, g)$

$LINK(h, i)$

$LINK(g, i)$

$LINK(i, d)$

$FIND(g)$

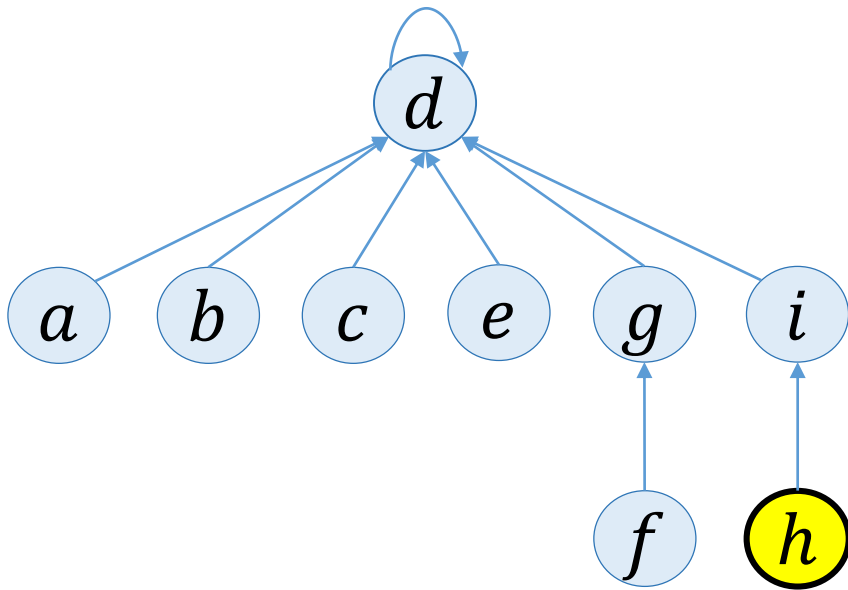
$FIND(h)$



頂点	a	b	c	d	e	f	g	h	i
rank	0	1	0	3	0	0	1	0	2

各操作の実行例

$FIND(h)$ を実行



操作列

$LINK(a, b)$

$LINK(c, d)$

$LINK(e, d)$

$LINK(b, d)$

$FIND(a)$

$LINK(f, g)$

$LINK(h, i)$

$LINK(g, i)$

$LINK(i, d)$

$FIND(g)$

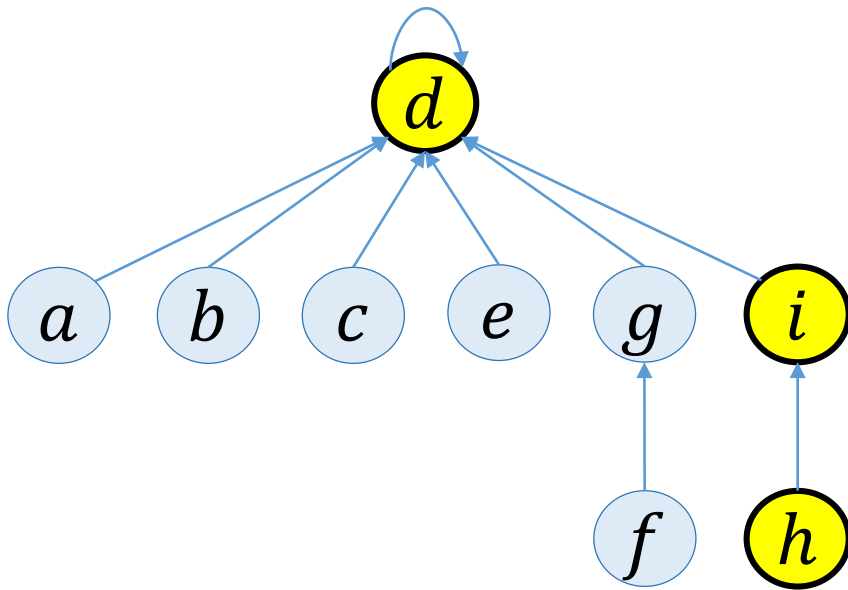
$FIND(h)$



頂点	a	b	c	d	e	f	g	h	i
rank	0	1	0	3	0	0	1	0	2

各操作の実行例

$FIND(h)$ を実行



操作列

$LINK(a, b)$

$LINK(c, d)$

$LINK(e, d)$

$LINK(b, d)$

$FIND(a)$

$LINK(f, g)$

$LINK(h, i)$

$LINK(g, i)$

$LINK(i, d)$

$FIND(g)$

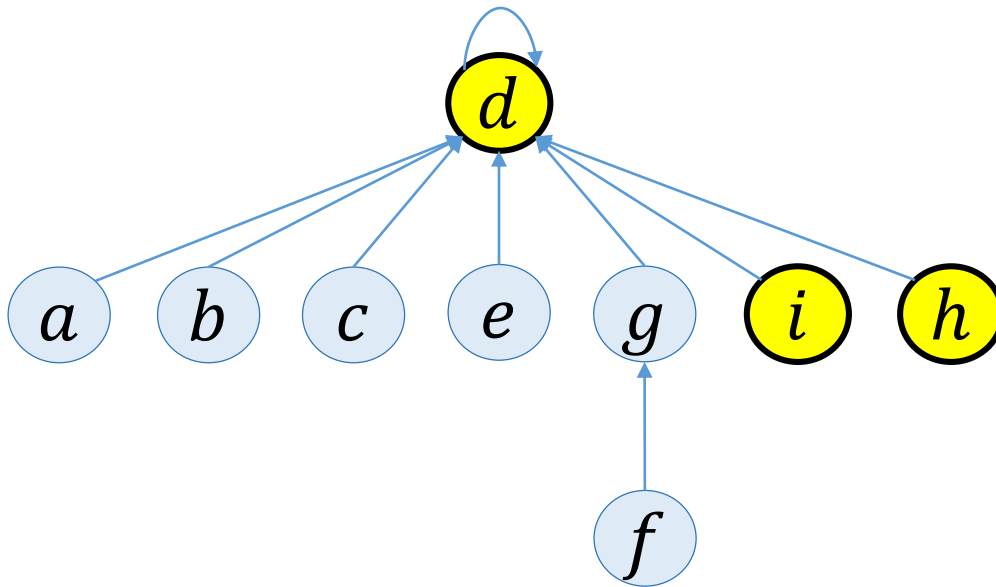
$FIND(h)$



頂点	a	b	c	d	e	f	g	h	i
rank	0	1	0	3	0	0	1	0	2

各操作の実行例

$FIND(h)$ を実行



操作列

$LINK(a, b)$

$LINK(c, d)$

$LINK(e, d)$

$LINK(b, d)$

$FIND(a)$

$LINK(f, g)$

$LINK(h, i)$

$LINK(g, i)$

$LINK(i, d)$

$FIND(g)$

$FIND(h)$



頂点	a	b	c	d	e	f	g	h	i
rank	0	1	0	3	0	0	1	0	2

計算効率 (工夫あり)

- union by rank のみを施した場合
操作 1 回あたりのならし計算量は $O(\log n)$.
- path compression のみを施した場合
操作全体の時間計算量は $O\left(n + f \cdot \left(1 + \log_{2+\frac{f}{n}} n\right)\right)$
- この両方を施した場合
操作 1 回あたりのならし計算量は $O(\alpha(n))$.

本スライドで解説

21.1 Disjoint-set operations

21.2 Linked-list representation of disjoint sets

21.3 Disjoint-set forests

21.4 Analysis of union by rank with path compression

今日の目次

- アッカーマン関数について
- $rank$ に関する性質
- ポテンシャル法
- ポテンシャル関数を導入のための準備
- ポテンシャル関数に関する性質
- 各操作に対してのならし解析

今日の目次

- アッカーマン関数について
- $rank$ に関する性質
- ポテンシャル法
- ポテンシャル関数を導入のための準備
- ポテンシャル関数に関する性質
- 各操作に対してのならし解析

アッカーマン関数(1/3)

- アッカーマン関数 $A_k(j)$ を以下のように定義する.

[定義]

整数 $k \geq 0, j \geq 1$ に対して,

$$A_k(j) = \begin{cases} j + 1 & \text{if } k = 0 \\ A_{k-1}^{(j+1)}(j) & \text{if } k \geq 1 \end{cases}$$

- 繰り返し関数の記法

$$f^{(i)}(n) = \begin{cases} n & \text{if } i = 0 \\ f\left(f^{(i-1)}(n)\right) & \text{if } i > 0 \end{cases}$$

アッカーマン関数(2/3)

[補題 1-1]

整数 $j \geq 1$ に対して, $A_1(j) = 2j + 1$.

アッカーマン関数(2/3)

[補題 1-1]

整数 $j \geq 1$ に対して, $A_1(j) = 2j + 1$.

[証明]

まず, $A_0^{(i)}(j) = j + i$ を数学的帰納法で示す.

1. $A_0^{(0)}(j) = j = j + 0$ より正しい.

2. $A_0^{(i-1)}(j) = j + (i - 1)$ と仮定.

$$A_0^{(i)}(j) = A_0 \left(A_0^{(i-1)}(j) \right) = (j + (i - 1)) + 1 = j + i.$$

よって, $A_1(j) = A_0^{(j+1)}(j) = j + (j + 1) = 2j + 1$.

アッカーマン関数(3/3)

[補題 1-2]

整数 $j \geq 1$ に対して, $A_2(j) = 2^{j+1}(j+1) - 1$.

アッカーマン関数(3/3)

[補題 1-2]

整数 $j \geq 1$ に対して, $A_2(j) = 2^{j+1}(j+1) - 1$.

[証明]

まず, $A_1^{(i)}(j) = 2^i(j+1) - 1$ を数学的帰納法で示す.

1. $A_1^{(0)}(j) = j = 2^0(j+1) - 1$ より正しい.

2. $A_1^{(i-1)}(j) = 2^{i-1}(j+1) - 1$ と仮定.

$$\begin{aligned} A_1^{(i)}(j) &= A_1\left(A_1^{(i-1)}(j)\right) = A_1\left(2^{i-1}(j+1) - 1\right) \\ &= 2 \cdot \left(2^{i-1}(j+1) - 1\right) + 1 = 2^i(j+1) - 1. \end{aligned}$$

よって, $A_2(j) = A_1^{(j+1)}(j) = 2^{j+1}(j+1) - 1$.

アッカーマン関数の増え方

- $k = 0, 1, 2, 3, 4$ において, $A_k(1)$ がいかに爆発的に増加するかを観察する.

$$A_0(1) = 1 + 1 = 2.$$

$$A_1(1) = 2 \cdot 1 + 1 = 3.$$

$$A_2(1) = 2^{1+1}(1 + 1) - 1 = 7.$$

$$A_3(1) = A_2^{(2)}(1) = A_2(A_2(1)) = A_2(7) = 2^8 \cdot 8 - 1 = 2047.$$

$$A_4(1) = A_3^{(2)}(1) = A_3(A_3(1)) = A_3(2047) = A_2^{(2048)}(2047) \\ \gg A_2(2047) = 2^{2048} \cdot 2048 - 1 > 2^{2048} = 16^{512}$$

アッカーマン関数の逆

- アッカーマン関数の逆 $\alpha(n)$ を, 以下のように定める.

[定義]

整数 $n \geq 0$ に対して,

$$\alpha(n) = \min\{k : A_k(1) \geq n\}$$

$$\alpha(n) = \begin{cases} 0 & \text{for } 0 \leq n \leq 2 \\ 1 & \text{for } n = 3 \\ 2 & \text{for } 4 \leq n \leq 7 \\ 3 & \text{for } 8 \leq n \leq 2047 \\ 4 & \text{for } 2048 \leq n \leq A_4(1) \end{cases}$$

今日の目次

- アッカーマン関数について
- ***rank*** に関する性質
- ポテンシャル法
- ポテンシャル関数導入のための準備
- ポテンシャル関数に関する性質
- 各操作に対してのならし解析

$rank$ に関する性質(1/3)

[補題 2-1]

全てのノード x に対して, $x.rank \leq x.p.rank$ が成立
(等号成立条件は $x = x.p$)

$rank$ に関する性質(1/3)

[補題 2-1]

全てのノード x に対して, $x.rank \leq x.p.rank$ が成立
(等号成立条件は $x = x.p$)

OH

[証明]

数学的帰納法で示す.

(1) 基礎ケース

$x = x.p$ であり,

$x.rank = x.p.rank = 0$ なので成立.



$rank$ に関する性質(1/3)

[補題 2-1]

全てのノード x に対して, $x.rank \leq x.p.rank$ が成立
(等号成立条件は $x = x.p$)

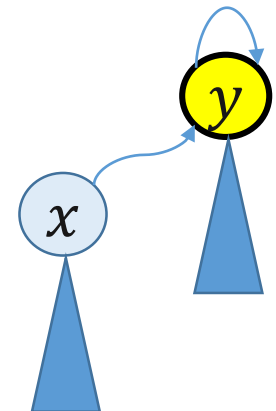
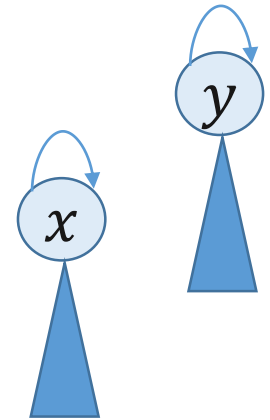
[証明]

数学的帰納法で示す.

(2) 帰納ステップ

$UNION(x, y)$ で変化するのは $y.rank$ と $x.p$ のみ.

操作後, $x.rank < y.rank = x.p.rank$ が成立.



$rank$ に関する性質(1/3)

[補題 2-1]

全てのノード x に対して, $x.rank \leq x.p.rank$ が成立 (等号成立条件は $x = x.p$)

[証明]

数学的帰納法で示す.

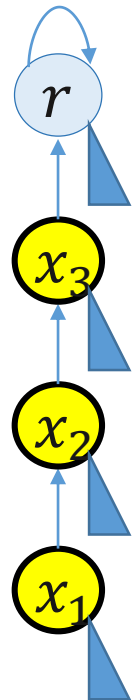
(2) 帰納ステップ

$FIND(x)$ で変化するのは,

$find\ path = (x_1, \dots, x_k, r)$ として,

$x_i.p$ ($1 \leq i \leq k$) のみ.

操作後 $x_i.rank < r.rank = x.p.rank$ が成立.



$rank$ に関する性質(1/3)

[補題 2-1]

全てのノード x に対して, $x.rank \leq x.p.rank$ が成立 (等号成立条件は $x = x.p$)

[証明]

数学的帰納法で示す.

(2) 帰納ステップ

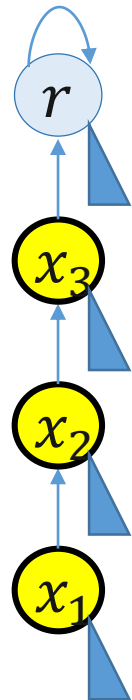
$FIND(x)$ で変化するのは,

$find\ path = (x_1, \dots, x_k, r)$ として,

$x_i.p$ ($1 \leq i \leq k$) のみ.

操作後 $x_i.rank < r.rank = x.p.rank$ が成立.

以上より, 補題 2-1 が示された.



$rank$ に関する性質(2/3)

[補題 2-2]

$x.rank$ は最初は 0 で, $x = x.p$ の間, 広義単調増加する.
 $x \neq x.p$ になった以降, $x.rank$ は変化しない.

rank に関する性質(2/3)

[補題 2-2]

$x.rank$ は最初は 0 で, $x = x.p$ の間, 広義単調増加する.
 $x \neq x.p$ になった以降, $x.rank$ は変化しない.

[証明] 疑似コードより

MAKE-SET(x)

```
1   $x.p \leftarrow x$   
2   $x.rank \leftarrow 0$ 
```

FIND-SET(x)

```
1  if  $x.rank \neq x.p$   
2     $x.p \leftarrow FIND-SET(x.p)$   
3  return  $x$ 
```

LINK(x, y)

```
1  if  $x.rank > y.rank$   
2     $y.p \leftarrow x$   
3  else  
4     $x.p \leftarrow y$   
5    if  $x.rank = y.rank$   
6       $y.rank \leftarrow y.rank + 1$ 
```

$rank$ に関する性質(3/3)

[補題 2-3]

全ての頂点 x に対して, $x.rank \leq n - 1$ が成立.

$rank$ に関する性質(3/3)

[補題 2-3]

全ての頂点 x に対して, $x.rank \leq n - 1$ が成立.

[証明]

頂点の数が n なので

今日の目次

- アッカーマン関数について
- $rank$ に関する性質
- **ポテンシャル法**
 - ポテンシャル関数を導入のための準備
 - ポテンシャル関数に関する性質
 - 各操作に対してのならし解析

ポテンシャル法(1/3)

- **ポテンシャル法**とはデータ構造に対して定義される**ポテンシャル関数**を用いた, ならし計算量解析のテクニック.
- ポテンシャル法の考え方を説明し, 簡単な具体例で実際に計算量を解析する.

ポテンシャル法(2/3)

- 初期データ構造 D_0 に対する n 回の操作の実行を考える.
- $i = 1, 2, \dots, n$ に対して,
 $c_i := i$ 番目の操作の実コスト
 $D_i := i$ 番目の操作後のデータ構造
 $\Phi :=$ 各データ構造 D_i から, ある実数 $\Phi(D_i)$ を得る関数
と定義する.

i 番目の操作の**ならしコスト** \hat{c}_i を,
 $\hat{c}_i = c_i + \Phi(D_i) - \Phi(D_{i-1})$ と定義する.

ポテンシャル法(3/3)

- $$\begin{aligned}\sum_{i=0}^n \hat{c}_i &= \sum_{i=0}^n (c_i + \Phi(D_i) - \Phi(D_{i-1})) \\ &= \sum_{i=0}^n c_i + \Phi(D_n) - \Phi(D_0)\end{aligned}$$

が成立する.

- 全ての n に対して, $\Phi(D_n) - \Phi(D_0) \geq 0$ が成立するようにポテンシャル関数を定めると,
 $\sum_{i=0}^n \hat{c}_i \geq \sum_{i=0}^n c_i$ が成立し, 総ならしコストが, 総実コストの上界となる.

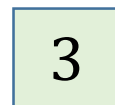
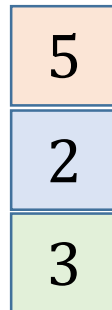
スタック

- **スタック**を例にとり, ポテンシャル法を適用する.
 - スタック $S :=$ 以下の二つの操作ができるデータ構造.
 - $PUSH(S, x) :=$ 要素 x を S の先頭に追加する操作.
 - $POP(S) := S$ の上から 1 個の要素を取り除く操作.
 - $MULTIPOP(S, k) := S$ の上から $\min(S.size, k)$ 個の要素を取り除く操作.
 - $S.size =$ スタックに積まれている要素数.

$PUSH(S, 5)$

$PUSH(S, 6)$

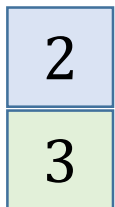
$MULTIPOP(S, 3)$



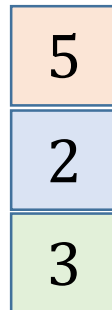
計算量解析(工夫なし)

- 操作回数を n とする.
- $S.size$ は n まで大きくなりうるから,
 $MULTIPOP$ 操作一回の最悪計算量は $O(n)$ である.
- $MULTIPOP$ が n 回実行される可能性があるから,
操作全体の計算量は $O(n^2)$ である.

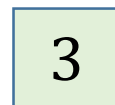
$PUSH(S, 5)$



$PUSH(S, 6)$

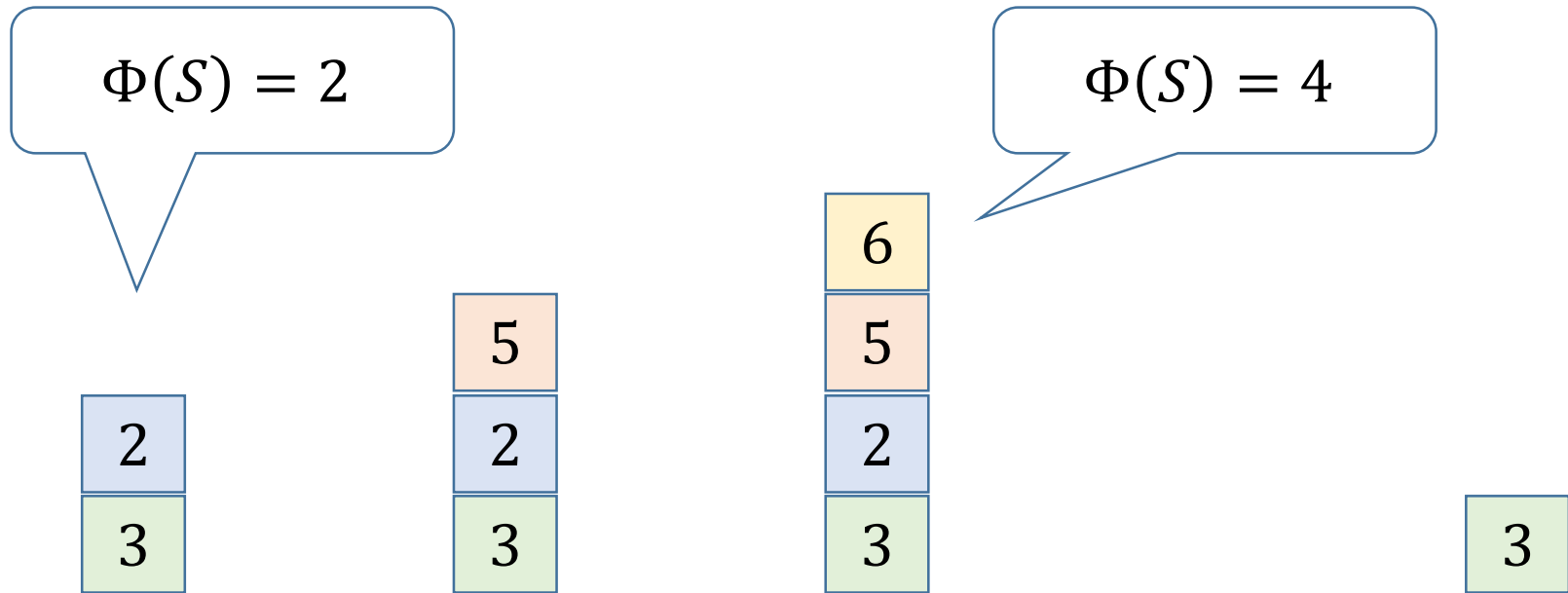


$MULTIPOP(S, 3)$



計算量解析(ポテンシャル法)

- ポテンシャル関数を $\Phi(S) := S.size$ と定める.
 - 全ての n に対して, $\Phi(D_n) - \Phi(D_0) \geq 0$ が成立.



$PUSH(S, x)$

i 番目の操作が s 個の要素を含むスタックへの $PUSH$ 操作と仮定.

ポテンシャル差は,

$$\Phi(D_i) - \Phi(D_{i-1}) = (s + 1) - s = 1 \text{ である.}$$

この操作の実コストは $c_i = 1$ であるので,
ならしコストは

$$\begin{aligned} \hat{c}_i &= c_i + \Phi(D_i) - \Phi(D_{i-1}) \\ &= 0(1) + 1 = 0(1) \end{aligned}$$

となる.

$MULTIPOP(S, k)$

i 番目の操作が s 個の要素を含むスタックへの $MULTIPOP(S, k)$ であり, $k' = \min(s, k)$ 個の要素がポップされるものと仮定.

ポテンシャル差は,

$$\Phi(D_i) - \Phi(D_{i-1}) = (s + 1) - s = -k' \text{ である.}$$

この操作の実コストは $c_i = O(k')$ であるので,
ならしコストは

$$\begin{aligned} \hat{c}_i &= c_i + \Phi(D_i) - \Phi(D_{i-1}) \\ &= O(k') - k' \end{aligned}$$

となる.

$POP(S, k)$

$MULTIPOP(S, k)$ の特殊なケースとみなせばよい.

計算量解析(ポテンシャル法)

各操作のならしコストは以下ようになる.

- $PUSH: O(1)$
- $MULTIPOP: O(k') - k'$

ここでポテンシャル関数の 1 単位を十分大きくとると,
 $O(k') - k' = O(1)$ となる.

よって, 長さ n の操作列を実行したときの総ならしコストは
 $O(n)$ となる.

総ならしコストは総実コストの上界であるので,
長さ n の操作列を実行した時の時間計算量は
 $O(n)$ となり, ならし計算量は $O(1)$ となる.

今日の目次

- アッカーマン関数について
- $rank$ に関する性質
- ポテンシャル法
- **ポテンシャル関数を導入のための準備**
- ポテンシャル関数に関する性質
- 各操作に対してのならし解析

$level(x)$ 関数

- 第一の補助関数 $level(x)$ を以下のように定める.

[定義]

根ではなく, $x.rank \geq 1$ であるようなノード x に対して
$$level(x) = \max\{k : x.p.rank \geq A_k(x.rank)\}$$

$x.rank$ は不変であり, $x.p.rank$ は時間とともに増加するので,
 $level(x)$ も時間とともに増加する.

$level(x)$ 関数に関する性質

- $level(x)$ に対して, 以下の不等式が成立.

[補題 3-1]

$$0 \leq level(x) < \alpha(n)$$

$level(x)$ 関数に関する性質

- $level(x)$ に対して, 以下の不等式が成立.

[補題 3-1]

$$0 \leq level(x) < \alpha(n)$$

[証明(左)]

$$\begin{aligned} x.p.rank &\geq x.rank + 1 && (\because \text{補題 2-1}) \\ &= A_0(x.rank) && (\because A_0(j) \text{ の定義}) \end{aligned}$$

よって, $0 \leq level(x)$ が成立.

$level(x)$ 関数に関する性質

- $level(x)$ に対して, 以下の不等式が成立.

[補題 3-1]

$$0 \leq level(x) < \alpha(n)$$

[証明(右)]

$$A_{\alpha(n)}(x.rank) \geq A_{\alpha(n)}(1)$$

$$\geq n$$

$$> x.p.rank$$

($\because A_k(j)$ は単調増加する)

($\because \alpha(n)$ の定義)

(\because 補題 2-3)

よって, $level(x) < \alpha(n)$ が成立.

以上より, 補題 3-1 が成立.

$iter(x)$ 関数

- 第二の補助関数 $iter(x)$ を以下のように定める.

[定義]

根ではなく, $x.rank \geq 1$ であるような頂点 x に対して,
$$iter(x) = \max \left\{ i : x.p.rank \geq A_{level(x)}^{(i)}(x.rank) \right\}$$

$iter(x)$ 関数に関する性質

- $iter(x)$ に対して, 以下の不等式が成立.

[補題 3-2]

$$1 \leq iter(x) \leq x.rank$$

$iter(x)$ 関数に関する性質

- $iter(x)$ に対して, 以下の不等式が成立.

[補題 3-2]

$$1 \leq iter(x) \leq x.rank$$

[証明(左)]

$$\begin{aligned} x.p.rank &\geq A_{level(x)}(x.rank) && (\because level(x) \text{ の定義}) \\ &= A_{level(x)}^{(1)}(x.rank) \end{aligned}$$

よって, $1 \leq iter(x)$ が成立.

$iter(x)$ 関数に関する性質

- $iter(x)$ に対して, 以下の不等式が成立.

[補題 3-2]

$$1 \leq iter(x) \leq x.rank$$

[証明(右)]

$$\begin{aligned} A_{level(x)}^{(x.rank+1)}(x.rank) &= A_{level(x)+1}(x.rank) \quad (\because A_k(j) \text{ の定義}) \\ &> x.p.rank \quad (\because level(x) \text{ の定義}) \end{aligned}$$

よって, $iter(x) \leq x.rank$ が成立.

$iter(x)$ 関数に関する性質

- $iter(x)$ に対して, 以下の不等式が成立.

[補題 3-2]

$$1 \leq iter(x) \leq x.rank$$

[証明(右)]

$$\begin{aligned} A_{level(x)}^{(x.rank+1)}(x.rank) &= A_{level(x)+1}(x.rank) \quad (\because A_k(j) \text{ の定義}) \\ &> x.p.rank \quad (\because level(x) \text{ の定義}) \end{aligned}$$

説明)

よって, $iter(x) \leq x.rank$ が成立.

以上より, 補題 3-2 が成立.

今日の目次

- アッカーマン関数について
- rank に関する性質
- ポテンシャル法
- ポテンシャル関数導入のための準備
- ポテンシャル関数に関する性質
- 各操作に対してのならし解析

ポテンシャル関数の導入

- ポテンシャル関数 $\Phi_q(D)$, $\phi_q(x)$ を以下のように定める.

[定義]

q 回目の操作後の素集合森 \mathcal{G} に対して,

$$\Phi_q(D) = \sum_x \phi_q(x).$$

ただし, 各ノード x に対して,

$$\phi_q(x) = \begin{cases} \alpha(n) \cdot x.rank & \text{if (1)} \\ (\alpha(n) - level(x)) \cdot x.rank - iter(x) & \text{otherwise} \end{cases}$$

(1) x が根, または $x.rank = 0$ の時

$\phi_q(x)$ に関する性質(1/2)

[補題 4-1]

全ての頂点 x 対して,

$$0 \leq \phi_q(x) \leq \alpha(n) \cdot x.rank$$

また,根ではなく, $x.rank \geq 1$ であるような頂点 x に対して,

$$0 \leq \phi_q(x) < \alpha(n) \cdot x.rank$$

$\phi_q(x)$ に関する性質(1/2)

[補題 4-1]

全ての頂点 x 対して,

$$0 \leq \phi_q(x) \leq \alpha(n) \cdot x.rank$$

また,根ではなく, $x.rank \geq 1$ であるような頂点 x に対して,

$$0 \leq \phi_q(x) < \alpha(n) \cdot x.rank$$

[証明]

x が根, または $x.rank = 0$ のとき

定義より, $\phi_q(x) = \alpha(n) \cdot x.rank$

であるので, 上記の不等式は成立.

$\phi_q(x)$ に関する性質(1/2)

[補題 4-1]

全ての頂点 x 対して,

$$0 \leq \phi_q(x) \leq \alpha(n) \cdot x.rank$$

また, 根ではなく, $x.rank \geq 1$ であるような頂点 x に対して,

$$0 \leq \phi_q(x) < \alpha(n) \cdot x.rank$$

[証明(左)]

x が根でなく, $x.rank \geq 1$ の時

$$\begin{aligned}\phi_q(x) &= (\alpha(n) - level(x)) \cdot x.rank - iter(x) \\ &\geq (\alpha(n) - (\alpha(n) - 1)) \cdot x.rank - x.rank \\ &= x.rank - x.rank = 0\end{aligned}$$

よって, $0 \leq \phi_q(x)$ が成立.

$\phi_q(x)$ に関する性質(1/2)

[補題 4-1]

全ての頂点 x 対して,

$$0 \leq \phi_q(x) \leq \alpha(n) \cdot x.rank$$

また, 根ではなく, $x.rank \geq 1$ であるような頂点 x に対して,

$$0 \leq \phi_q(x) < \alpha(n) \cdot x.rank$$

[証明(右)]

x が根でなく, $x.rank \geq 1$ の時

$$\begin{aligned}\phi_q(x) &= (\alpha(n) - level(x)) \cdot x.rank - iter(x) \\ &\leq (\alpha(n) - 0) \cdot x.rank - 1 \\ &= \alpha(n) \cdot x.rank - 1 < \alpha(n) \cdot x.rank\end{aligned}$$

よって, $\phi_q(x) < \alpha(n) \cdot x.rank$ が成立.

$\phi_q(x)$ に関する性質(1/2)

[補題 4-1]

全ての頂点 x 対して,

$$0 \leq \phi_q(x) \leq \alpha(n) \cdot x.rank$$

また, 根ではなく, $x.rank \geq 1$ であるような頂点 x に対して,

$$0 \leq \phi_q(x) < \alpha(n) \cdot x.rank$$

[証明(右)]

x が根でなく, $x.rank \geq 1$ の時

$$\begin{aligned}\phi_q(x) &= (\alpha(n) - level(x)) \cdot x.rank - iter(x) \\ &\leq (\alpha(n) - 0) \cdot x.rank - 1 \\ &= \alpha(n) \cdot x.rank - 1 < \alpha(n) \cdot x.rank\end{aligned}$$

よって, $\phi_q(x) < \alpha(n) \cdot x.rank$ が成立.

以上より, 補題 4-1 が成立.

$\phi_q(x)$ に関する性質(2/2)

[補題 4-2]

q 回目の操作が *LINK* または *FIND-SET* だと仮定する.

根でない頂点 x に対して, $\phi_q(x) \leq \phi_{q-1}(x)$ が成立.

さらに, $x.rank \geq 1$ を満たし, $level(x)$ か $iter(x)$ が

q 回目の操作で変化するなら $\phi_q(x) \leq \phi_{q-1}(x) - 1$ が成立.

$\phi_q(x)$ に関する性質(2/2)

[補題 4-2]

q 回目の操作が *LINK* または *FIND-SET* だと仮定する.
根でない頂点 x に対して, $\phi_q(x) \leq \phi_{q-1}(x)$ が成立.
さらに, $x.rank \geq 1$ を満たし, $level(x)$ か $iter(x)$ が
 q 回目の操作で変化するなら $\phi_q(x) \leq \phi_{q-1}(x) - 1$ が成立.

[証明]

x は根ではないので, $x.rank$ は不変である.

(1) $x.rank = 0$ の時, $\phi_q(x) = \phi_{q-1}(x) = 0$.

以降, $x.rank \geq 1$ とする.

$\phi_q(x)$ の性質(2/2)

[証明]

$x.rank \geq 1$ と仮定する.

q 回目の操作で $level(x)$ が変化しない時, $iter(x)$ は変化しない
か増加するかのどちらか.

(1) $level(x), iter(x)$ とともに不変のとき,

$\phi_q(x) = \phi_{q-1}(x)$ が成立.

(2) $level(x)$ が不変で, $iter(x)$ が増加するとき,

ポテンシャルは少なくとも 1 減り

$\phi_q(x) \leq \phi_{q-1}(x) - 1$ が成立.

$\phi_q(x)$ に関する性質(2/2)

[証明]

$x.rank \geq 1$ と仮定する.

q 回目の操作で $level(x)$ が増加する時, 少なくとも 1 増えるので,
 $(\alpha(n) - level(x)) \cdot x.rank$ の部分は少なくとも $x.rank$ 減る.

$-iter(x)$ の部分は高々 $x.rank - 1$ 増える.

よって, ポテンシャルは少なくとも 1 減るので

$\phi_q(x) \leq \phi_{q-1}(x) - 1$ が成立.

$\phi_q(x)$ に関する性質(2/2)

[補題 4-2]

q 回目の操作が *LINK* または *FIND-SET* だと仮定する.
根でないノード x に対して $\phi_q(x) \leq \phi_{q-1}(x)$ が成立.
さらに $x.rank \geq 1$ かつ $level(x)$ または $iter(x)$ が
 q 回目の操作で変化するなら $\phi_q(x) \leq \phi_{q-1}(x) - 1$ が成立.

[証明]

以上より, 補題 4-2 が成立.

今日の目次

- アッカーマン関数について
- $rank$ に関する性質
- ポテンシャル法
- ポテンシャル関数導入のための準備
- ポテンシャル関数に関する性質
- 各操作に対してのならし解析

！！各操作のならしコスト(1/3)

[補題 5-1]

操作 $MAKE-SET(x)$ のならしコストは $O(1)$ である.

[証明]

q 回目の操作が $MAKE-SET(x)$ だと仮定する.

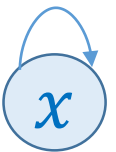
$x.rank = 0$ であるので, $\phi_q(x) = 0$.

x 以外のランクは変化しないので, $\Phi_q(G) = \Phi_{q-1}(G)$ である.

G なに

$MAKE-SET(x)$ の実コストは $O(1)$ なので,

$MAKE-SET(x)$ のならしコストは $O(1)$.



各操作のならしコスト(1/3)

[補題 5-1]

操作 $MAKE-SET(x)$ のならしコストは $O(1)$ である.

[証明]

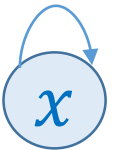
q 回目の操作が $MAKE-SET(x)$ だと仮定する.

$x.rank = 0$ であるので, $\phi_q(x) = 0$.

x 以外のランクは変化しないので, $\Phi_q(\mathcal{G}) = \Phi_{q-1}(\mathcal{G})$ である.

$MAKE-SET(x)$ の実コストは $O(1)$ なので,

$MAKE-SET(x)$ のならしコストは $O(1)$.



以上より, 補題 5-2 が成立.

各操作のならしコスト(2/3)

[補題 5-2]

操作 $LINK(x, y)$ のならしコストは $O(\alpha(n))$ である.

[証明]

q 回目の操作が $LINK(x, y)$ であると仮定する.

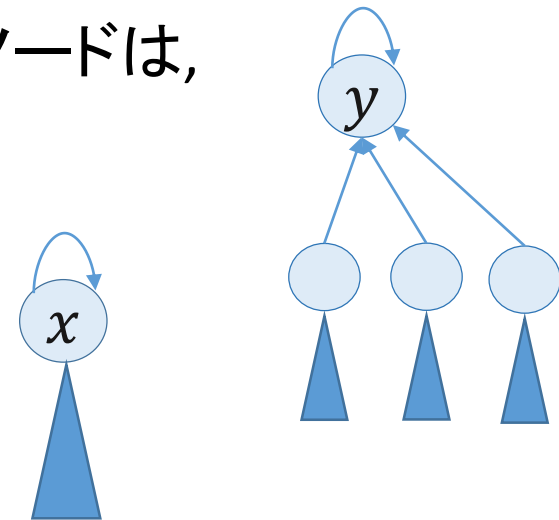
$LINK(x, y)$ の実コストは $O(1)$ である.

一般性を失わずに, $x.par$ を y に更新することとする.

この時, ポテンシャルが変化する可能性があるノードは,

1. y
2. x
3. y の(直接の)子であったノード

のいずれかである.



各操作のならしコスト(2/3)

[補題 5-2]

操作 $LINK(x, y)$ のならし計算量は $O(\alpha(n))$ である.

[証明]

q 回目の操作が $LINK(x, y)$ であると仮定する.

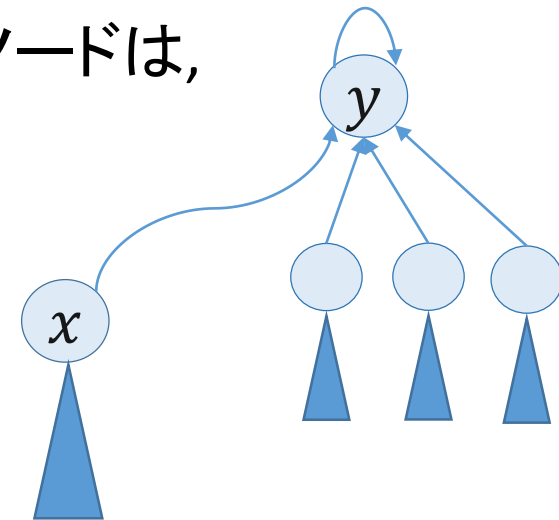
$LINK(x, y)$ の実コストは $O(1)$ である.

一般性を失わずに, $x.par$ を y に更新することとする.

この時, ポテンシャルが変化する可能性があるノードは,

1. y
2. x
3. y の(直接の)子であったノード

のいずれかである.



各操作のならしコスト(2/3)

[補題 5-2]

操作 $LINK(x, y)$ のならし計算量は $O(\alpha(n))$ である.

[証明]

q 回目の操作が $LINK(x, y)$ であると仮定する.

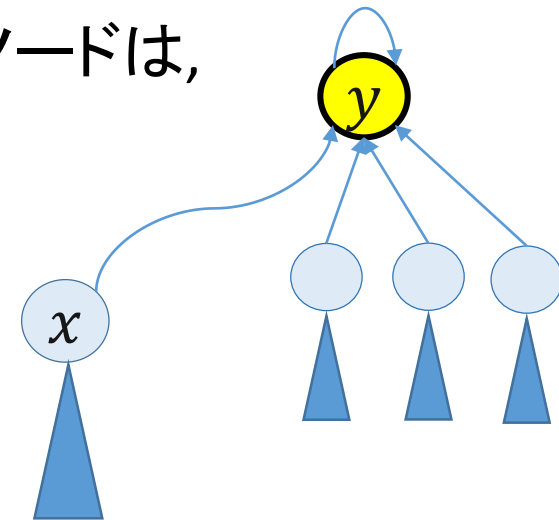
$LINK(x, y)$ の実コストは $O(1)$ である.

一般性を失わずに, $x.par$ を y に更新することとする.

この時, ポテンシャルが変化する可能性があるノードは,

1. y
2. x
3. y の(直接の)子であったノード

のいずれかである.



各操作のならしコスト(2/3)

[補題 5-2]

操作 $LINK(x, y)$ のならし計算量は $O(\alpha(n))$ である.

[証明]

q 回目の操作が $LINK(x, y)$ であると仮定する.

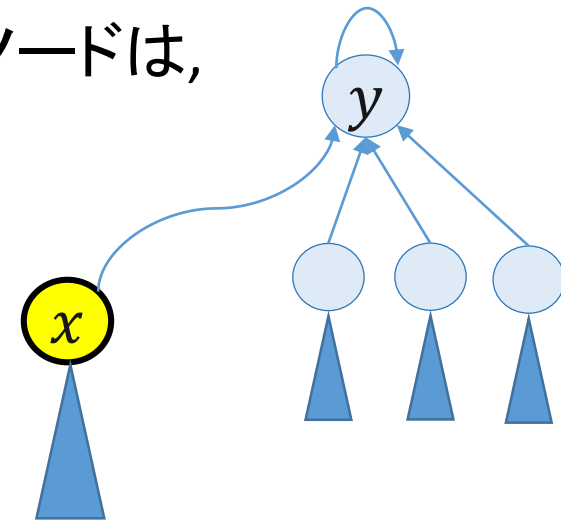
$LINK(x, y)$ の実コストは $O(1)$ である.

一般性を失わずに, $x.par$ を y に更新すると仮定.

この時, ポテンシャルが変化する可能性があるノードは,

1. y
2. x
3. y の(直接の)子であったノード

のいずれかである.



各操作のならしコスト(2/3)

[補題 5-2]

操作 $LINK(x, y)$ のならし計算量は $O(\alpha(n))$ である.

[証明]

q 回目の操作が $LINK(x, y)$ であると仮定する.

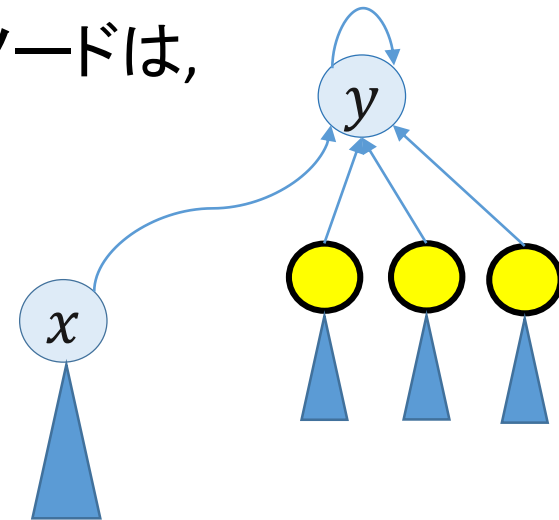
$LINK(x, y)$ の実コストは $O(1)$ である.

一般性を失わずに, $x.par$ を y に更新することとする.

この時, ポテンシャルが変化する可能性があるノードは,

1. y
2. x
3. y の(直接の)子であったノード

のいずれかである.



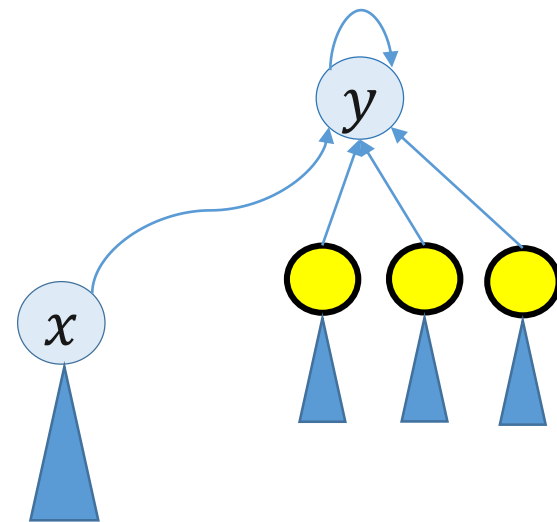
各操作のならしコスト(2/3)

149

[証明]

y の子のポテンシャルの変化を観察.

補題 4-2 より, y の子のポテンシャルは増加しない.



各操作のならしコスト(2/3)

[証明]

x のポテンシャルの変化を観察.

x は q 番目の操作の直前は根なので, $\phi_{q-1}(x) = \alpha(n) \cdot x.rank$.

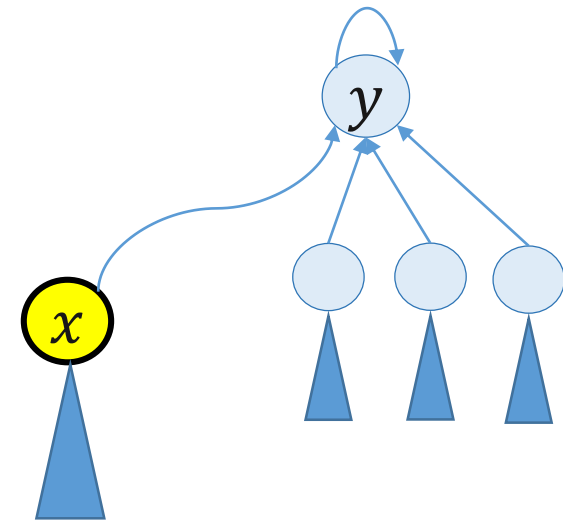
(1) $x.rank = 0$ のとき

$$\phi_q(x) = \phi_{q-1}(x) = 0.$$

(2) $x.rank \geq 0$ のとき

$$\begin{aligned}\phi_q(x) &< \alpha(n) \cdot x.rank \quad (\because \text{補題 4-1}) \\ &= \phi_{q-1}(x)\end{aligned}$$

よって, x のポテンシャルは増加しない.



各操作のならしコスト(2/3)

[証明]

y のポテンシャルの変化を観察.

y は q 番目の操作の直前は根なので, $\phi_{q-1}(x) = \alpha(n) \cdot x.rank$.
 y は操作後も根であるので $y.rank$ は変化しないか 1 だけ増加するかのどちらか.

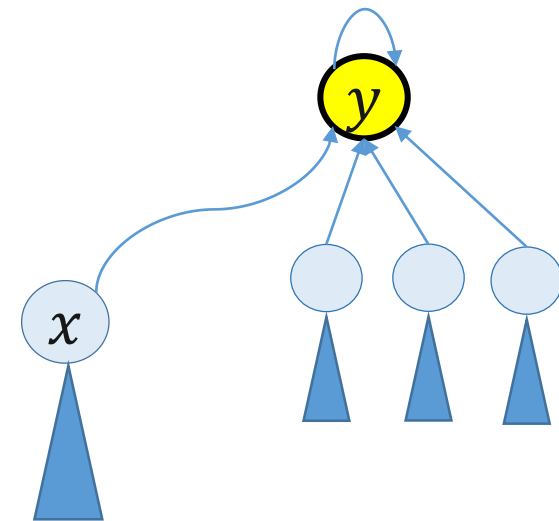
(1) $y.rank$ が変化しないとき

$$\phi_q(y) = \phi_{q-1}(y).$$

(2) $y.rank$ が 1 増加するとき

$$\phi_q(y) = \phi_{q-1}(y) + \alpha(n).$$

よって, y のポテンシャル増加分は高々 $\alpha(n)$.



各操作のならしコスト(2/3)

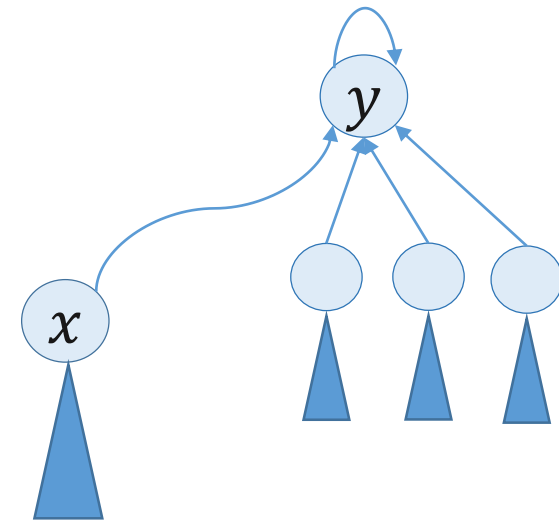
[補題 5-2]

操作 $LINK(x, y)$ のならしコストは $O(\alpha(n))$ である。

[証明]

以上より, $LINK(x, y)$ によって増加する可能性のある頂点は y のみであり, 増加分は高々 $\alpha(n)$ であるので,

$LINK(x, y)$ のならしコストは
 $O(1) + \alpha(n) = O(\alpha(n))$.



各操作のならしコスト(2/3)

[補題 5-2]

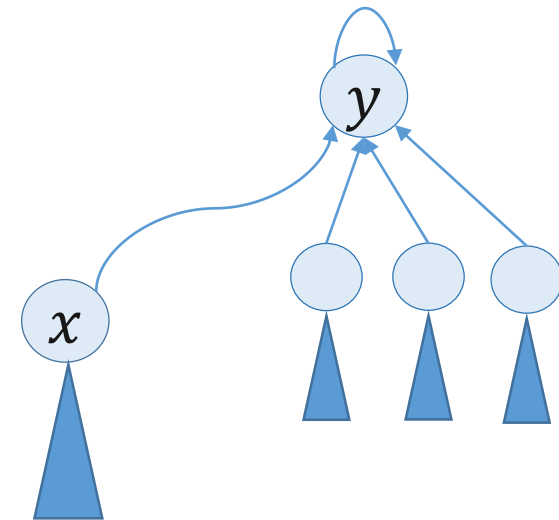
操作 $LINK(x, y)$ のならしコストは $O(\alpha(n))$ である.

[証明]

以上より, $LINK(x, y)$ によって増加する可能性のある頂点は y のみであり, 増加分は高々 $\alpha(n)$ であるので,

$LINK(x, y)$ のならしコストは
 $O(1) + \alpha(n) = O(\alpha(n))$.

以上より, 補題 5-2 が成立.



各操作のならしコスト(3/3)

[補題 5-3]

操作 $FIND-SET(x)$ のならしコストは $O(\alpha(n))$ である.

[証明]

q 回目の操作が $FIND-SET(x)$ であり, x から根までのパスに含まれる頂点数が s であると仮定する.

$FIND-SET(x)$ の実コストは $O(s)$ である.

以下の 2 つの事実を示す.

(1) どの頂点もポテンシャルが増加しない.

(2) $find\ pass$ 上の頂点のうち, 少なくとも $\max(0, s - (\alpha(n) - 2))$ の頂点のポテンシャルが少なくとも 1 減少する.

各操作のならしコスト(3/3)

[証明]

(1) どの頂点もポテンシャルが増加しないことを示す.

補題 4-2 より, 根でない頂点 x に対して

$$\phi_q(x) \leq \phi_{q-1}(x) \text{ となる.}$$

x が根のとき,

$$\phi_q(x) = \phi_{q-1}(x) = \alpha(n) \cdot x.rank \text{ となる.}$$

以上より, (1) が示せた.

各操作のならしコスト(3/3)

156

[証明]

(2) *find pass* 上の頂点のうち, 少なくとも $\max(0, s - (\alpha(n) - 2))$ の頂点のポテンシャルが少なくとも 1 減少することを示す.

x を以下の条件を満たす頂点だと仮定する.

1. *find path* 上の頂点である
2. $x.rank > 0$ である
3. $level(x) = level(y)$ を満たす
根でない頂点 y が, x 以降に存在する

$level(x)$

4

2

2

2

1

1



各操作のならしコスト(3/3)

157

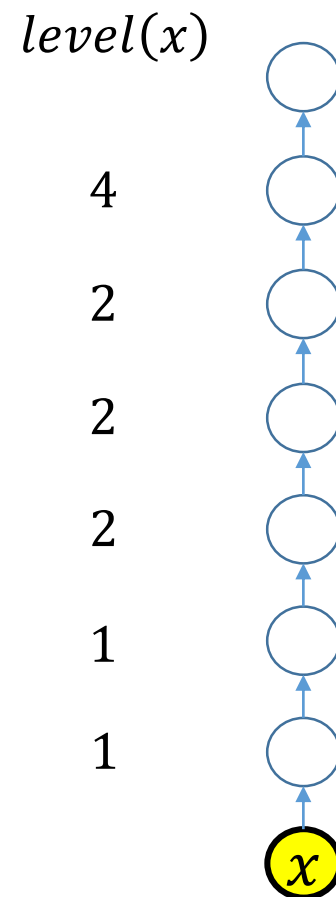
[証明]

(2) *find pass* 上の頂点のうち, 少なくとも $\max(0, s - (\alpha(n) - 2))$ の頂点のポテンシャルが少なくとも 1 減少することを示す.

x を以下の条件を満たす頂点だと仮定する.

1. *find path* 上の頂点である
2. $x.rank > 0$ である
3. $level(x) = level(y)$ を満たす
根でない頂点 y が, x 以降に存在する

$x.rank = 0$ であるので条件に反する



各操作のならしコスト(3/3)

158

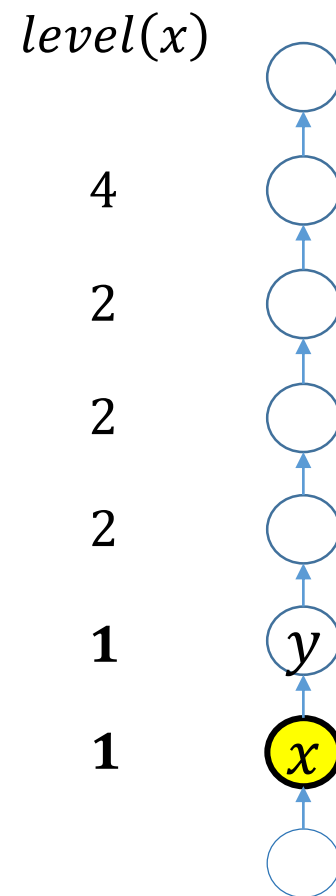
[証明]

(2) *find pass* 上の頂点のうち, 少なくとも $\max(0, s - (\alpha(n) - 2))$ の頂点のポテンシャルが少なくとも 1 減少することを示す.

x を以下の条件を満たす頂点だと仮定する.

1. *find path* 上の頂点である
2. $x.rank > 0$ である
3. $level(x) = level(y)$ を満たす
根でない頂点 y が, x 以降に存在する

y が存在し, 条件を満たす



各操作のならしコスト(3/3)

159

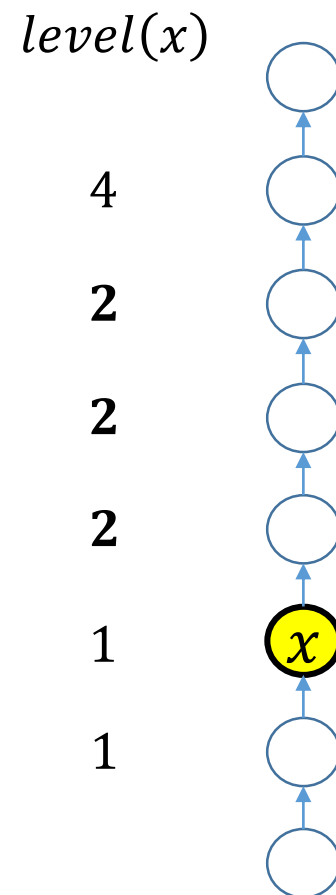
[証明]

(2) *find pass* 上の頂点のうち, 少なくとも $\max(0, s - (\alpha(n) - 2))$ の頂点のポテンシャルが少なくとも 1 減少することを示す.

x を以下の条件を満たす頂点だと仮定する.

1. *find path* 上の頂点である
2. $x.rank > 0$ である
3. $level(x) = level(y)$ を満たす
根でない頂点 y が, x 以降に存在する

$level(y) = 1$ を満たす y が存在しないので
条件に反する



各操作のならしコスト(3/3)

160

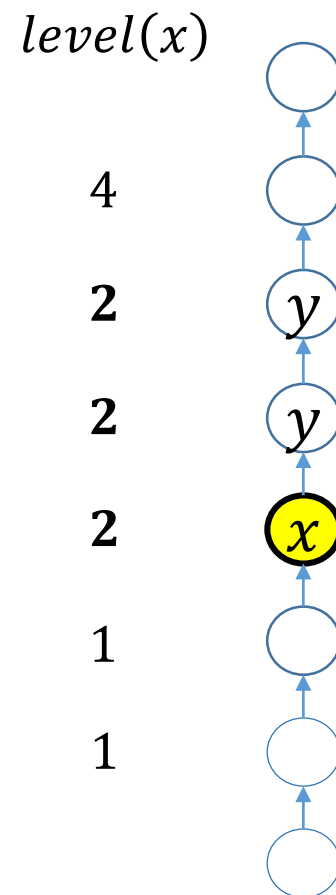
[証明]

(2) *find pass* 上の頂点のうち, 少なくとも $\max(0, s - (\alpha(n) - 2))$ の頂点のポテンシャルが少なくとも 1 減少することを示す.

x を以下の条件を満たす頂点だと仮定する.

1. *find path* 上の頂点である
2. $x.rank > 0$ である
3. $level(x) = level(y)$ を満たす
根でない頂点 y が, x 以降に存在する

y が存在し, 条件を満たす



各操作のならしコスト(3/3)

161

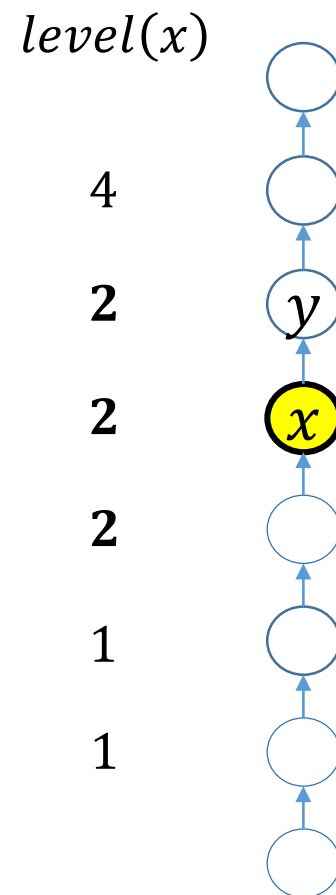
[証明]

(2) *find pass* 上の頂点のうち, 少なくとも $\max(0, s - (\alpha(n) - 2))$ の頂点のポテンシャルが少なくとも 1 減少することを示す.

x を以下の条件を満たす頂点だと仮定する.

1. *find path* 上の頂点である
2. $x.rank > 0$ である
3. $level(x) = level(y)$ を満たす
根でない頂点 y が, x 以降に存在する

y が存在し, 条件を満たす



各操作のならしコスト(3/3)

162

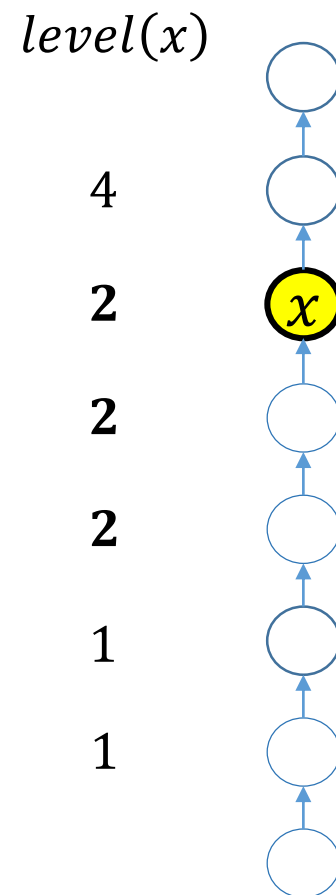
[証明]

(2) *find pass* 上の頂点のうち, 少なくとも $\max(0, s - (\alpha(n) - 2))$ の頂点のポテンシャルが少なくとも 1 減少することを示す.

x を以下の条件を満たす頂点だと仮定する.

1. *find path* 上の頂点である
2. $x.rank > 0$ である
3. $level(x) = level(y)$ を満たす
根でない頂点 y が, x 以降に存在する

$level(y) = 2$ を満たす y が存在しないので
条件に反する



各操作のならしコスト(3/3)

163

[証明]

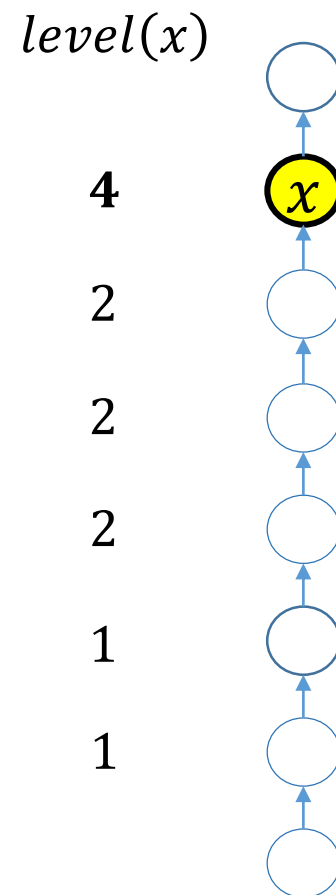
(2) *find pass* 上の頂点のうち, 少なくとも $\max(0, s - (\alpha(n) - 2))$ の頂点のポテンシャルが少なくとも 1 減少することを示す.

x を以下の条件を満たす頂点だと仮定する.

1. *find path* 上の頂点である
2. $x.rank > 0$ である
3. $level(x) = level(y)$ を満たす

根でない頂点 y が, x 以降に存在する

そもそも根でない頂点が x 以降存在しないので
条件に反する



各操作のならしコスト(3/3)

164

[証明]

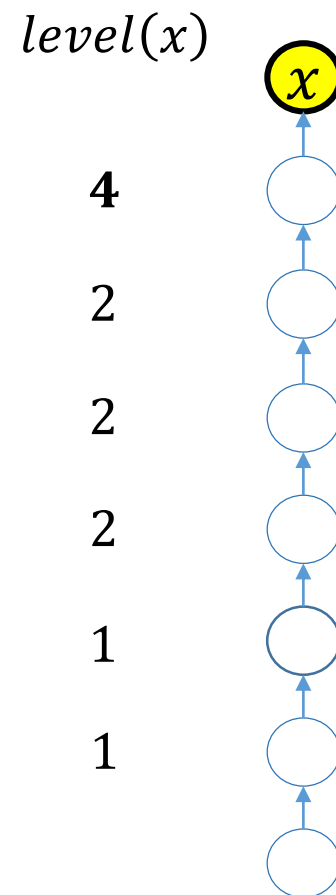
(2) *find pass* 上の頂点のうち, 少なくとも $\max(0, s - (\alpha(n) - 2))$ の頂点のポテンシャルが少なくとも 1 減少することを示す.

x を以下の条件を満たす頂点だと仮定する.

1. *find path* 上の頂点である
2. $x.rank > 0$ である
3. $level(x) = level(y)$ を満たす

根でない頂点 y が, x 以降に存在する

そもそも頂点が x 以降存在しないので
条件に反する



各操作のならしコスト(3/3)

165

[証明]

(2) *find pass* 上の頂点のうち, 少なくとも $\max(0, s - (\alpha(n) - 2))$ の頂点のポテンシャルが少なくとも 1 減少することを示す.

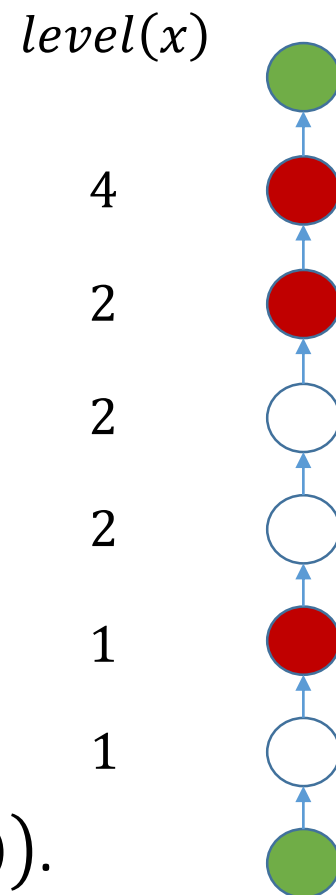
根と葉の 2 頂点は条件を満たさない.

$level(x) = k$ となるような頂点のうち, 最も根に近い頂点は条件を満たさない

補題 3-1 より, $0 \leq k < \alpha(n)$ なので,
高々 $\alpha(n)$ 頂点は条件を満たさない.

条件を満たさない頂点は高々 $\alpha(n) + 2$.

条件を満たす頂点は少なくとも $\max(0, s - (\alpha(n) - 2))$.

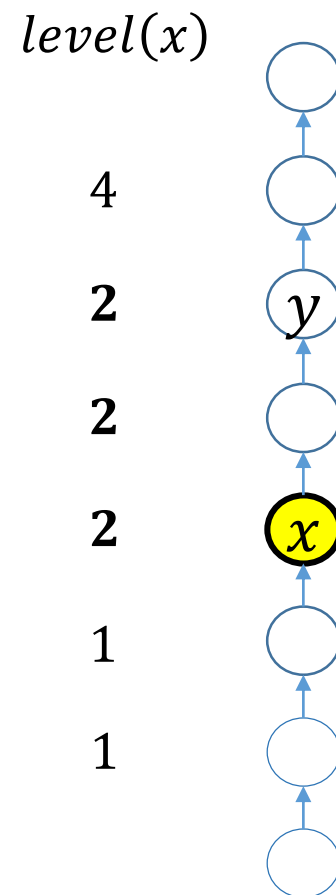


各操作のならしコスト(3/3)

[証明]

(2) *find pass* 上の頂点のうち, 少なくとも $\max(0, s - (\alpha(n) - 2))$ の頂点のポテンシャルが少なくとも 1 減少することを示す.

x を先述の条件を満たす頂点だと仮定し,
 x のポテンシャルが少なくとも 1 減少することを示す.



[証明]

(2) *find pass* 上の頂点のうち, 少なくとも $\max(0, s - (\alpha(n) - 2))$ の頂点のポテンシャルが少なくとも 1 減少することを示す.

操作前の頂点 x , 頂点 y に対して以下の不等式が成立.

• ただし, $k = \text{level}(x) = \text{level}(y)$, $i = \text{iter}(x)$ とする.

$$\begin{aligned} y.p.rank &\geq A_k(y.rank) && (\because \text{level}(x) \text{ の定義}) \\ &\geq A_k(x.p.rank) && (\because y.rank \geq x.p.rank) \\ &\geq A_k\left(A_k^i(x.rank)\right) && (\because \text{iter}(x) \text{ の定義}) \\ &= A_k^{i+1}(x.rank) \end{aligned}$$

各操作のならしコスト(3/3)

[証明]

(2) *find pass* 上の頂点のうち, 少なくとも $\max(0, s - (\alpha(n) - 2))$ の頂点のポテンシャルが少なくとも 1 減少することを示す.

操作前の頂点 x , 頂点 y に対して以下の不等式が成立.

• ただし, $k = \text{level}(x) = \text{level}(y)$, $i = \text{iter}(x)$ とする.

$$y.p.rank \geq A_k^{i+1}(x.rank)$$

操作後, $x.p.rank = y.p.rank$ が成立し, $y.p.rank$ は減少しない.

また, $x.rank$ は変化しないから, 操作後の頂点 x , 頂点 y に対して,

$$x.p.rank = y.p.rank \geq y.p.rank \geq A_k^{i+1}(x.rank)$$

が成立.

各操作のならしコスト(3/3)

[証明]

(2) *find pass* 上の頂点のうち, 少なくとも $\max(0, s - (\alpha(n) - 2))$ の頂点のポテンシャルが少なくとも 1 減少することを示す.

操作前の頂点 x , 頂点 y に対して以下の不等式が成立.

• ただし, $k = \text{level}(x) = \text{level}(y)$, $i = \text{iter}(x)$ とする.

$$y.p.rank \geq A_k^{i+1}(x.rank)$$

操作後, $x.p.rank = y.p.rank$ が成立し, $y.p.rank$ は減少しない.

また, $x.rank$ は変化しないから, 操作後の頂点 x , 頂点 y に対して,

$$x.p.rank = y.p.rank \geq y.p.rank \geq A_k^{i+1}(x.rank)$$

が成立.

各操作のならしコスト(3/3)

[証明]

(2) *find pass* 上の頂点のうち, 少なくとも $\max(0, s - (\alpha(n) - 2))$ の頂点のポテンシャルが少なくとも 1 減少することを示す.

操作前

- $k = \text{level}(x) = \text{level}(y), i = \text{iter}(x)$

操作後

$$x.p.rank \geq A_{\textcolor{blue}{k}}^{i+1}(\textcolor{red}{x.rank})$$

操作後, $\text{level}(x)$ が変化しないとき, $\text{iter}(x)$ は少なくとも 1 増加.

操作後, $\text{level}(x)$ が変化するときと合わせて, 補題 4-2 より,

$$\phi_q(x) \leq \phi_{q-1}(x) - 1 \text{ が成立.}$$

各操作のならしコスト(3/3)

[証明]

(2) *find pass* 上の頂点のうち, 少なくとも $\max(0, s - (\alpha(n) - 2))$ の頂点のポテンシャルが少なくとも 1 減少することを示す.

操作前

- $k = \text{level}(x) = \text{level}(y), i = \text{iter}(x)$

操作後

$$x.p.rank \geq A_{\textcolor{blue}{k}}^{i+1}(\textcolor{red}{x.rank})$$

操作後, $\text{level}(x)$ が変化しないとき, $\text{iter}(x)$ は少なくとも 1 増加.

操作後, $\text{level}(x)$ が変化するときと合わせて, 補題 4-2 より,

$$\phi_q(x) \leq \phi_{q-1}(x) - 1 \text{ が成立.}$$

各操作のならしコスト(3/3)

[証明]

(2) *find pass* 上の頂点のうち, 少なくとも $\max(0, s - (\alpha(n) - 2))$ の頂点のポテンシャルが少なくとも 1 減少することを示す.

操作前

- $k = \text{level}(x) = \text{level}(y), i = \text{iter}(x)$

操作後

$$x.p.rank \geq A_{\textcolor{blue}{k}}^{i+1}(\textcolor{red}{x.rank})$$

操作後, $\text{level}(x)$ が変化しないとき, $\text{iter}(x)$ は少なくとも 1 増加.

操作後, $\text{level}(x)$ が変化するときと合わせて, 補題 4-2 より,

$\phi_q(x) \leq \phi_{q-1}(x) - 1$ が成立.

以上より, (2) が示せた.

各操作のならしコスト(3/3)

[補題 5-3]

操作 $FIND-SET(x)$ のならしコストは $O(\alpha(n))$ である.

[証明]

q 回目の操作が $FIND-SET(x)$ であり, x から根までのパスに含まれる頂点数が s であると仮定する.

$FIND-SET(x)$ の実コストは $O(s)$ である.

以上より, 以下の 2 つの事実を示した.

- (1) どの頂点もポテンシャルが増加しない.
- (2) $find\ pass$ 上の頂点のうち, 少なくとも $\max(0, s - (\alpha(n) - 2))$ の頂点のポテンシャルが少なくとも 1 減少する.

各操作のならしコスト(3/3)

[補題 5-3]

操作 $FIND-SET(x)$ のならしコストは $O(\alpha(n))$ である.

[証明]

以上より, 以下の 2 つの事実を示した.

- (1) どの頂点もポテンシャルが増加しない.
- (2) $find\ pass$ 上の頂点のうち, 少なくとも $\max(0, s - (\alpha(n) - 2))$ の頂点のポテンシャルが少なくとも 1 減少する.

ここで, ポテンシャル関数の 1 単位を十分大きくとると,

$$\begin{aligned}\text{ならしコストは } O(s) - (s - (\alpha(n) - 2)) &= O(s) - s + O(\alpha(n)) \\ &= O(\alpha(n)) \text{ となる.}\end{aligned}$$

各操作のならしコスト(3/3)

[補題 5-3]

操作 $FIND-SET(x)$ のならしコストは $O(\alpha(n))$ である.

[証明]

以上より, 以下の 2 つの事実を示した.

- (1) どの頂点もポテンシャルが増加しない.
- (2) $find\ pass$ 上の頂点のうち, 少なくとも $\max(0, s - (\alpha(n) - 2))$ の頂点のポテンシャルが少なくとも 1 減少する.

ここで, ポテンシャル関数の 1 単位を十分大きくとると,

$$\begin{aligned}\text{ならしコスト} &= O(s) - (s - (\alpha(n) - 2)) = O(s) - s + O(\alpha(n)) \\ &= O(\alpha(n)) \text{ となる.}\end{aligned}$$

以上より, 補題 5-3 が成立.

計算量解析

- 補題 5-1, 5-2, 5-3 より, 操作 1 回あたりならし計算量は $O(\alpha(n))$ であることが示された.

まとめ

- アッカーマン関数について
 - *rank* に関する性質
 - ポテンシャル法
 - ポテンシャル関数を導入のための準備
 - ポテンシャル関数に関する性質
 - 各操作に対してのならし解析
-
- 素集合データ構造の表現方法を 2 つ紹介した.
 - 素集合連結リスト
 - 操作 1 回あたりならしが計算量 $O(\log n)$ であることを示した.
 - 素集合森
 - 操作 1 回あたりならし計算量が $O(\alpha(n))$ であることを示した.